

# Modele kwarkowe

w nieperturbacyjnej fizyce oddziaływań silnych

**Wojciech Broniowski**

Instytut Fizyki Jądrowej im. H. Niewodniczańskiego,

Polska Akademia Nauk

ul. Radzikowskiego 152, 31-342 Kraków

*Skrypt wykładu dla Studium Doktoranckiego IFJ*

(Wersja robocza: <http://www.ifj.edu.pl/~broniows/pp/wyklad.ps>)

9-30 VI 1999, 11-25 X 2000, 10-24 X 2001, 17-31 III 2004

# Spis treści

<b>I</b>	<b>Wykład</b>	<b>5</b>
<b>1</b>	<b>Wstęp</b>	<b>7</b>
1.1	Cel wykładu . . . . .	7
1.2	Trochę historii . . . . .	7
<b>2</b>	<b>Dlaczego kwarki?</b>	<b>13</b>
2.1	Teoriogrupowy model kwarków . . . . .	13
2.2	Symetria zapachowa . . . . .	14
2.3	Kolor . . . . .	15
2.4	Stany związane kwarków i rezonanse hadronowe . . . . .	16
2.5	Zachowanie zapachu w oddziaływaniach silnych . . . . .	16
2.6	$R$ w rozpraszaniu $e^+e^-$ . . . . .	16
2.7	Rozpad $\pi^0 \rightarrow \gamma\gamma$ . . . . .	16
2.8	Konstrukcja funkcji falowych nukleonu i izobaru $\Delta$ . . . . .	18
2.9	Momenty magnetyczne protonu i neutronu . . . . .	21
2.10	Funkcje falowe mezonów . . . . .	22
<b>3</b>	<b>Chromodynamika kwantowa</b>	<b>23</b>
3.1	Dynamika kolorowa i gluony . . . . .	23
3.2	Asymptotyczna swoboda . . . . .	24
3.3	Wymiana gluonu . . . . .	25
3.4	Uwięzienie koloru . . . . .	25
<b>4</b>	<b>Modele oparte o uwięzienie</b>	<b>29</b>
4.1	Nierelatywistyczny model kwarków . . . . .	29
4.2	Stany egzotyczne . . . . .	34
4.3	Worki . . . . .	34
	4.3.1 Worek Bogolubowa . . . . .	34
	4.3.2 Worek MIT . . . . .	37
<b>5</b>	<b>Symetria chiralna</b>	<b>41</b>
5.1	Twierdzenie Goldstone'a . . . . .	41
	5.1.1 Przykład dla pól klasycznych . . . . .	41
5.2	Symetrie oddziaływań silnych . . . . .	43
5.3	Spontaniczne łamanie symetrii chiralnej . . . . .	44
	5.3.1 Fakty empiryczne . . . . .	44

5.3.2	Diagram fazowy QCD . . . . .	45
5.3.3	CVC i PCAC . . . . .	46
5.3.4	Związki GMOR i kondensat chiralny . . . . .	47
5.4	Modele kwarkowe zgodne z symetrią chiralną . . . . .	48
5.4.1	Worki chiralne . . . . .	48
5.5	Chiralne modele solitonowe (niedokończone) . . . . .	49
5.5.1	Model $\sigma$ z kwarkami . . . . .	49
5.5.2	Dynamiczne łamanie symetrii chiralnej i model NJL . . . . .	50
<b>II Dotatki</b>		<b>53</b>
<b>A Własności wybranych cząstek</b>		<b>55</b>
<b>B Multiplety <math>SU(3)_F</math></b>		<b>63</b>
<b>C Bryk teorii pola</b>		<b>67</b>
C.1	Macierze Pauliego i Gell-Manna . . . . .	67
C.2	Pole o spinie 0 (skalarne lub pseudoskalarne): . . . . .	68
C.3	Pole o spinie 1/2 (Diraca): . . . . .	68
C.4	Tw. Noether dla symetrii wewnętrznych . . . . .	69
<b>III Ćwiczenia</b>		<b>73</b>
C.5	Produkcja dileptonów w procesach rozpraszania pionów na symetrycznych jądrach . . . . .	75
C.6	Funkcje falowe N i $\Delta$ . . . . .	75
C.7	Równanie Diraca w potencjale sferycznym . . . . .	76
C.8	Modele worków . . . . .	78
C.9	Tw. Goldstone'a (dla pól klasycznych) . . . . .	79
C.10	Tw. Noether . . . . .	80

Pamięci Prof. Zbigniewa Bochnackiego

...  
Three [quarks](#) for Muster Murk!  
Sure he hasn't got much of a bark  
And sure any he has it's all beside the mark. ...

James Joyce, *Finnegans Wake*



**Część I**  
**Wykład**



# 1

## Wstęp

### 1.1 Cel wykładu

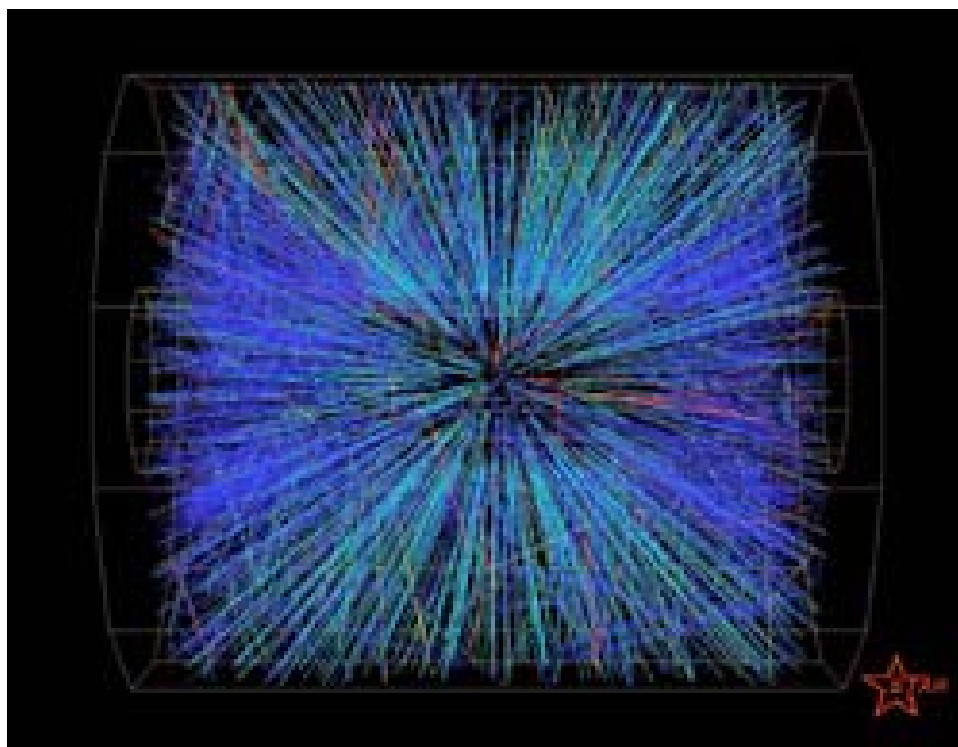
Celem niniejszego wykładu jest możliwie przystępne przedstawienie modeli kwarkowych stosowanych na przestrzeni ostatnich 30-tu lat w badaniach zjawisk nieperturbacyjnych fizyki oddziaływań silnych. Różnorodność i pomysłowość tych przybliżonych metod związana jest z brakiem ścisłej metody rachunkowej, pozwalającej na opis zjawisk nieperturbacyjnych w bezpośrednim oparciu o chromodynamikę (wyjątkiem są tu pewne wyniki rachunków QCD na siatkach). Proste modele, bazujące na podstawowych cechach oddziaływań silnych, jak np. uwięzienie kwarków, czy też techniki oparte o symetrie, pozwalają zrozumieć i wytłumaczyć wiele prawidłowości i współzależności Świata Hadronów, niejednokrotnie z zadziwiającą prostotą i dokładnością. Wychodząc z ogólnych własności chromodynamiki i spektrum hadronów potrafimy wykazać bardzo ważne fakty, jak spontaniczne łamanie symetrii chiralnej w próżni, czy też dowieść, że pion jest najlżejszym hadronem (przykład tzw. nierówności QCD).

Wykład ten nie stanowi systematycznego przeglądu, co ze względu na obszerność i zaawansowanie tematu nie byłoby możliwe w tak krótkim czasie. Pragniemy natomiast w możliwie przystępny sposób zaznajomić słuchacza z najciekawszymi i najbardziej owocnymi podejściami teoretycznymi, odsyłając dociekliwszych do licznej literatury. Wykład koncentruje się na trzech aspektach modeli kwarkowych: symetria zapachowa i teoriogrupowy model kwarków (cz. 2), zjawisko uwięzienia koloru i modele worków (cz. 4), oraz symetria chiralna i oparte o nią modele kwarkowe (cz. 5).

### 1.2 Trochę historii

Wiek XX to wiek badań mikroświata, gdzie obserwacje cząstek splatają się w nierozzerwalnym łańcuchu z odkryciami rządzących nimi praw: mechaniki kwantowej, teorii pola, symetrii cechowania, modelu standardowego oddziaływań elektroslabych, wreszcie chromodynamiki kwantowej z jej asymptotyczną swobodą i uwięzieniem kwarków. Minął cały wiek od pierwszej obserwacji protonu (wówczas jeszcze “nie ochrzczonego”) przez Wilhelma Wiena w dowiadzczeniach ze zjonizowanymi gazami w rurze wyładowczej. Obecnie tysiãcosobowe ze-



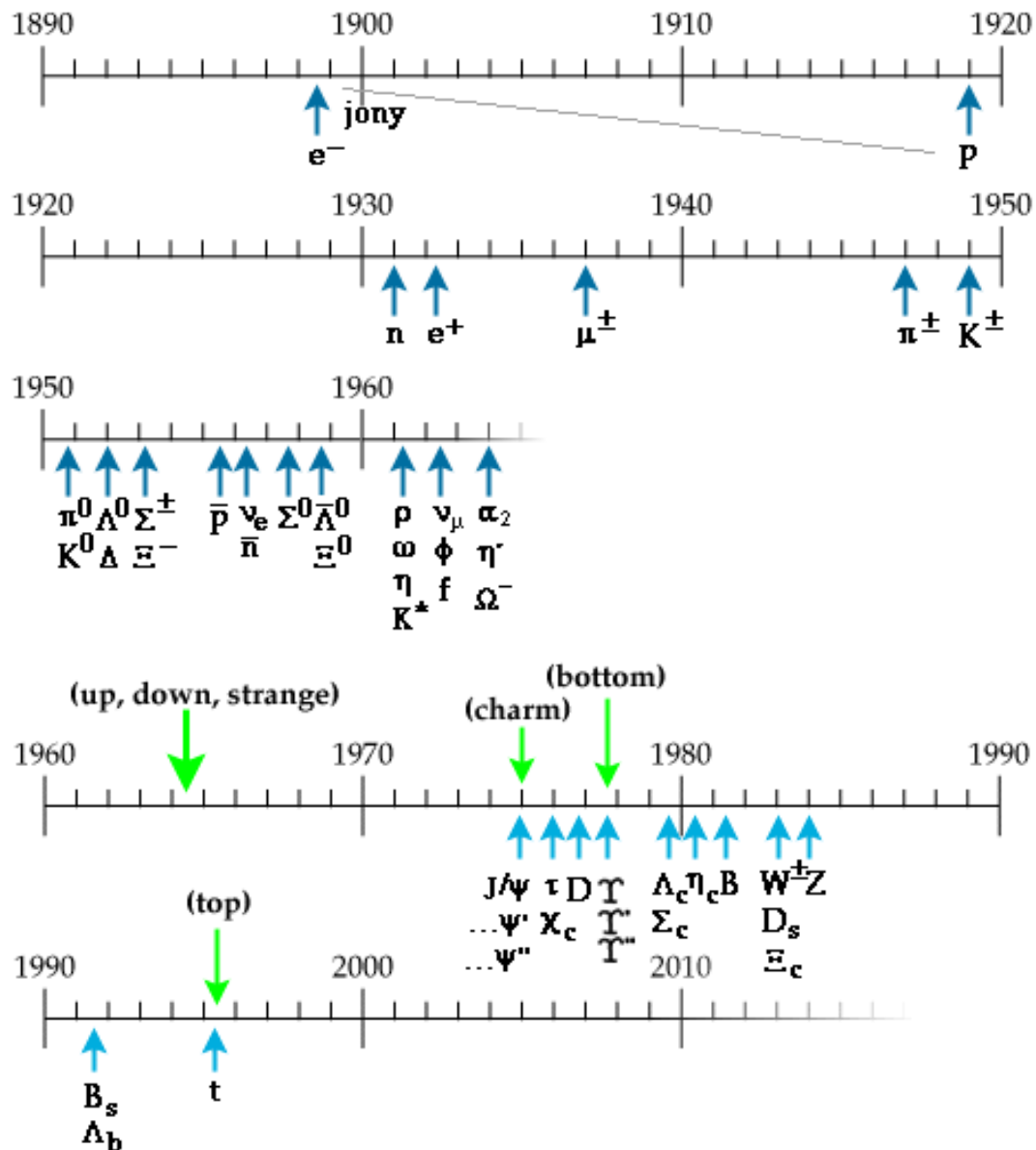


Rys. 1.1: Jedno z pierwszych zdarzeń zaobserwowanych w detektorze STAR na zderzaczach RHIC (Relativistic Heavy Ion Collider) w Brookhaven, lipiec 2000. W ultrarelatywistycznym zderzeniu dwóch jąder złota produkowane są tysiące cząstek (<http://www.rhic.bnl.gov>).

spółki badawcze prowadzą wieloletnie programy doświadczalne na urządzeniach kosztujących milardy dolarów, produkujących tysiące cząstek w pojedynczych zderzeniach (Rys. 1.1). Z tą perspektywą końca wieku przyjrzymy się kamieniom milowym odkryć w fizyce hadronów.

Rys. 1.2 przedstawia odkrycia cząstek elementarnych na osi czasu, natomiast poniższe zestawienie ukazuje najważniejsze wydarzenia z naciskiem na fizykę hadronów, będącą przedmiotem tego wykładu.

- 1898 Wilhelm Wien, a następnie w 1910 Joseph J. Thompson obserwują dodatnio naładowane cząstki o masie wodoru podczas doświadczeń ze zjonizowanymi gazami w rurach wyładowczych
- 1909 Hans Geiger, Ernest Marsden i Ernest Rutherford rozpraszają cząstki  $\alpha$  na folii złota i wnioskuje o istnieniu małych, ciężkich, dodatnio naładowanych cząstek w materii
- 1911 Ernest Rutherford wysuwa hipotezę jądra atomowego
- 1919 Ernest Rutherford pokazuje, że jądro azotu bombardowane cząstkami  $\alpha$  emituje dodatnio naładowane cząstki o masie wodoru. W 1920 chrzci je jako *protony*



Rys. 1.2: Najważniejsze odkrycia cząstek elementarnych (na podstawie *Historia cząstek*, <http://www.ifj.edu.pl>)

- 1921 James Chadwick i E. S. Bieler wysuwają koncepcję sił jądrowych
- 1926 Erwin Schroedinger pisze swoje równanie
- 1928 Paul A. M. Dirac znajduje swoje równanie opisujące relatywistyczne cząstki elementarne o spinie 1/2
- 1930 Wolfgang Pauli postuluje istnienie neutrina
- 1932 James Chadwick odkrywa neutron bombardując beryl cząstkami  $\alpha$

- 1933 Enrico Fermi odkrywa oddziaływania słabe
- 1933-35 Hideki Yukawa tworzy teorię sił jądrowych opartych o wymianę mezonów
- 1936 Odkrycie mionu ( $\mu$ ) w promieniowaniu kosmicznym (początkowo sądzono, że odkryto mezon Yukawy!)
- 1947 Odkrycie naładowanego pionu  $\pi^\pm$  w promieniowaniu kosmicznym
- 1947 Richard Feynman wymyśla swoje diagramy, co ułatwia rachunki perturbacyjnej teorii pola
- 1949 Odkrycie kaonu  $K^+$  poprzez jego rozpad
- 1950 Odkrycie  $\pi^0$  w promieniowaniu kosmicznym, oraz w synchrocyklotronie w Berkeley
- 1951 Odkrycie  $\Lambda^0$  i  $K^0$  w promieniowaniu kosmicznym
- 1952 Odkrycie izobaru  $\Delta$  w czterech stanach ładunkowych:  $\Delta^{++}$ ,  $\Delta^+$ ,  $\Delta^0$  i  $\Delta^-$
- 1953– Lawina odkryć nowych cząstek
- 1953 Marian Danysz i Jerzy Pniewski odkrywają i badają hiperjądra
- 1953-57 Rozpraszanie elektronów ukazuje strukturę jąder
- 1954 Chen Ning Yang i Robert Mills tworzą teorię cechowania
- 1961 Murray Gell-Mann i Yuval Ne’eman niezależnie proponują prosty schemat klasyfikacji cząstek oparty o grupę  $SU(3)$  (tzw. *poósmna ścieżka*). Przewiduje on m.in. barion o potrójnej dziwności,  $\Omega^-$ , odkryty w 1964
- 1964 Murray Gell-Mann i George Zweig wprowadzają kwarki (asy) o trzech zapachach: dolnym (down,  $d$ ), górnym (up,  $u$ ) i dziwnym (strange,  $s$ ). Mezony składają się z pary kwark-antykwar, a bariony z trzech kwarków
- 1964 Sugestie istnienia czwartego kwarku o nowym “zapachu”. Sheldon Glashow i James Bjorken nazywają go “powabnym” (charmed,  $c$ )
- 1965 Oscar W. Greenberg, M. Y. Han i Yoichiro Nambu wprowadzają nową liczbę kwantową, nazwaną *kolorem*, dla kwarków. Umożliwia to zgodność z twierdzeniem o spinie i statystyce. Wszystkie obserwowane hadrony nie niosą koloru (są neutralne, “białe”)
- 1967 Steven Weinberg i Abdus Salam proponują teorię unifikującą oddziaływania słabe elektromagnetyczne. Postulat istnienia bozonu  $Z_0$  i cząstki Higgsa (do dziś nie zaobserwowanej!)

- 1968-69 Odkrycie partonów w eksperymentach na akceleratorze w Stanford. James D. Bjorken i Richard Feynman wytłumaczyli wyniki głęboko nieelastycznego rozpraszania elektronów na protonach wykazując, że wewnątrz protonów znajdują się małe, słabo oddziałujące rdzenie – partony
- 1973 Harald Fritzsch i Murray Gell-Mann postulują *chromodynamikę kwantową (QCD)*. Jest to teoria pola z cechowaniem oddziaływujących kwarków i *gluonów*
- 1973 David Politzer, David Gross i Frank Wilczek wykazują, że QCD posiada *asymptotyczną swobodę*, dzięki czemu partony mogą być zidentyfikowane z kwarkami
- 1974 Powstaje Model Standardowy oddziaływań elektroslabych
- 1974 Grupy Samuela Tinga i Burtona Richtera niezależnie odkrywają cząstkę  $J/\psi$ , będącą stanem związanym kwarków  $c$  i  $\bar{c}$
- 1976 Gerson Goldhaber i Francois Pierre odkrywają mezon  $D^0$ , będący stanem związanym  $\bar{u}$  i  $c$
- 1976 Martin Perl odkrywa lepton  $\tau$ , należący do trzeciej rodziny cząstek
- 1977 Leon Lederman odkrywa w Fermilab kwark denny (bottom,  $b$ )
- 1979 Strumienie (jety) w eksperymentach na akceleratorze PETRA w DESY pośrednio potwierdzają istnienie gluonów
- 1983 Zespoły, którymi kierują Carlo Rubbia i Simon Van der Meer, odkrywają w CERN-ie bozony pośredniczące oddziaływań słabych:  $W^\pm$  i  $Z_0$
- 1992 Odkrycie oscylacji neutrin w Kamiokande
- 1995 Eksperymenty CDF i D0 w Fermilab odkrywają kwark szczytowy (top,  $t$ )
- 2003 Odkrycie pentakwarku (SPRING, ITEP, TJLAB, ELSA, CERN/FNAL)



## 2

# Dlaczego kwarki?

## 2.1 Teoriogrupowy model kwarków

Był sobie raz spór w fizyce cząstek. Niektórzy fizycy<sup>1</sup> zaprzeczali istnieniu cząstek bardziej elementarnych niż hadrony i szukali samouzgodnionej interpretacji, w której wszystkie stany hadronowe, zarówno stabilne jak i rezonanse, byłyby równie elementarne. Inni<sup>2</sup>, onieśmieleni wszechogarniającą demokracją hadronów, upierali się, że istnieje mała liczba fundamentalnych składników i proste podstawowe oddziaływanie. Przy użyciu tych bardziej fundamentalnych obiektów spektroskopia hadronów powinna dać się jakościowo opisać i w zasadzie zrozumieć dokładnie tak, jak fizyka atomowa czy jądrowa...

[A. De Rujula, H. Georgi, S. L. Glashow, *Hadron masses in a gauge theory*, Phys. Rev. D12 (1975) 147]

W miarę odkrywania coraz to nowych rezonansów, oczywistą stała się konieczność ich klasyfikacji, umożliwiającej proste poruszanie się w dżungli stanów hadronowych. Największe zasługi położyli tu Gell-Mann, Ne’eman i Zweig. Wprowadzenie przez Gell-Manna i Zweiga *kwarków* jako “elementarnych cegiełek” pozwoliło na bardzo proste zrozumienie liczb kwantowych hadronów.

Tabela 2.1 przedstawia kwarki. Liczby kwantowe  $I_3, B, s, c, b, t$  są addytywne. Ładunek elektryczny dany jest wzorem Gell-Manna–Nishijimy,

	$B$	$Q/e$	$I$	$I_3$	$s$	$c$	$b$	$t$	$m$ (MeV)	flavor (zapach)
$d$	$\frac{1}{3}$	$-\frac{1}{3}$	$\frac{1}{2}$	$-\frac{1}{2}$	0	0	0	0	5 (0 ÷ 5)	down (dolny)
$u$	$\frac{1}{3}$	$\frac{2}{3}$	$\frac{1}{2}$	$\frac{1}{2}$	0	0	0	0	7 (3 ÷ 9)	up (górny)
$s$	$\frac{1}{3}$	$-\frac{1}{3}$	0	0	-1	0	0	0	150 (60 ÷ 170)	strange (dziwny)
$c$	$\frac{1}{3}$	$\frac{2}{3}$	0	0	0	1	0	0	1100 ÷ 1400	charmed (powabny)
$b$	$\frac{1}{3}$	$-\frac{1}{3}$	0	0	0	0	-1	0	4100 ÷ 4400	bottom (denny)
$t$	$\frac{1}{3}$	$\frac{2}{3}$	0	0	0	0	0	1	~ 170000	top (szczytowy)

Tabela 2.1: Kwarki

$$Q = e \left( I_3 + \frac{1}{2}(B + s + c + b + t) \right), \quad (2.1)$$

który jest słuszny dla kwarków, oraz (poprzez addytywność) dla wszystkich hadronów. Antykwarki posiadają  $I_3, B, s, c, b, t$  przeciwne do kwarków. Kwarki oraz leptony można połączyć w trzy rodziny (fakt potwierdzony doświadczalnie):

$$\begin{aligned} & d, u, e, \nu_e, \\ & s, c, \mu, \nu_\mu, \\ & b, t, \tau, \nu_\tau, \end{aligned} \quad (2.2)$$

i analogicznie dla antykwarków i antyleptonów. Kwarki  $u, d$  i  $s$  określane są mianem lekkich, pozostałe to kwarki ciężkie.

*Mezony* tworzone są przez parę kwark-antykwark,  $q\bar{q}'$ , gdzie  $q$  i  $q'$  oznaczają jeden z czterech zapachów. *Bariony* są stanami o trzech kwarkach,  $qq'q''$ , a *antybariony* o trzech antykwarkach,  $\bar{q}\bar{q}'\bar{q}''$ . Na przykład,  $\pi^+$  to  $u\bar{d}$ , proton  $uud$ , neutron  $udd$ . Mezony klasyfikowane są jako lekkie ( $u, d, s$ ), ciężko-lekkie (kwark (antykwark) ciężki – antykwark (kwark) lekki), oraz ciężkie kwarkonia (kwark ciężki – antykwark ciężki).

W tabeli 2.1 uderzający jest fakt nagłego wzrostu masy kwarków, od kilku MeV to 170 GeV. Ten problem hierarchii pozostaje, oczywiście, nierozwiązany.

## 2.2 Symetria zapachowa

Jeszcze przed wprowadzeniem kwarków, Gell-Mann i Nishijima zauważyli, że hadrony można połączyć w multiplety (zob. Rys.B-B w dodatku B). Na przykład masy pionu neutralnego i naładowanego różnią się tylko o 5MeV, a masy protonu i neutronu o 1MeV. Rozszczepienia te, wynikające z efektów elektromagnetycznych oraz małych różnic mas kwarków  $u$  i  $d$ , są znikome w porównaniu z masą hadronów. Tak więc, z punktu widzenia oddziaływań silnych, trzy stany ładunkowe pionu, proton i neutron, a także inne cząstki, tworzą *multiplety grupy symetrii zapachowej*. Symetria ta polega na zamianie kwarków. Na przykład neutron,  $udd$ , możemy utworzyć z protonu,  $uud$ , poprzez zamianę  $u$  na  $d$ . Z Tabeli 2.1 widzimy, że zarówno kwark  $u$  jak i  $d$  są praktycznie bezmasowe (w skali kilkuset MeV), a więc, z wyjątkim zapachu, takie same. Zatem zamiana  $u$  na  $d$  “nic nie kosztuje”, i masy protonu i neutronu są zdegenerowane. Konstrukcję można uogólnić dla trzech zapachów. Masa kwarku dziwnego,  $m_s$ , różni się od mas kwarków  $u$  i  $d$ , ale różnica ta jest niewielka w skali mas hadronów i możemy dalej mówić o (nieco *złamanej*) symetrii zapachowej. Tak więc, zamiany  $u \longleftrightarrow d \longleftrightarrow s$  pozostawiają nas w obrębie danego multipletu grupującego stany o bardzo bliskich masach.

Te przedstawienia kwarków opisywane są przez grupę tzw. specjalnych transformacji unitarnych w przetrzeni zapachu, którą oznaczamy jako  $SU(N_f)_F$ , gdzie  $N_f$  oznacza wymiar przestrzeni (ilość zapachów). Dla  $N = 3$  mamy  $SU(3)_F$ , gdzie indeks  $F$  przypomina, że chodzi o zapach. W przypadku mezonów, kwarki i antykwarki o trzech zapachach można połączyć na 9 sposobów. Okazuje

się, że tworzą one dwa multiplety grupy  $SU(3)_F$ : singlet i oktet. Teoriogrupowo, składanie kwarku a antykwarkiem i rozkład na reprezentacje nieredukowalne zapisuje się jako

$$3 \otimes \bar{3} = 1 \oplus 8.$$

Analogicznie, składając trzy kwarki w barionie otrzymujemy

$$3 \otimes 3 \otimes 3 = 1 \oplus 8 \oplus 8 \oplus 10,$$

czyli singlet, dwa oktety i dekuplet. Częste pojawianie się oktetu zainspirowało Gell-Manna i Ne'emana do nazwania schamatu “Poósmną ścieżką” (The Eightfold Way), w nawiązaniu do ośmiu buddyjskich ścieżek osiągnięcia doskonałości.

Do przykładowego problemu konstrukcji funkcji falowych barionów powrócimy w rozdziale 2.8.

## 2.3 Kolor

Model kwarków musiał uporać się z dwoma bardzo poważnymi problemami. Pierwszym z nich było rzekome łamanie bardzo podstawowego twierdzenia o związku spinu ze statystyką. Aby opisać spektroskopię hadronów, kwarki muszą mieć przypisany spin  $1/2$ , czyli są *fermionami*. A zatem i ich funkcja falowa musi być *antysymetryczna* względem zamiany dwóch dowolnych kwarków. W szczególności, dwa kwarki jako Fermiony nie mogą zajmować tego samego stanu, zgodnie z zasadą wykluczania Pauliego. Tu pojawił się istotny kłopot, ponieważ wiele barionów wymaga, aby umieścić dwa lub trzy identyczne kwarki w tym samym stanie (np. barion  $\Delta^{++} = uuu$ ). Problem został rozwiązany poprzez wprowadzenie przez Greenberga, Hana i Nambu “koloru” — dodatkowego ładunku. Kwark posiada jeden z trzech kolorów: czerwony ( $r$ ), niebieski ( $b$ ), lub zielony ( $g$ ). Następnie czyni się nadrzędne założenie: *wszystkie stany fizyczne są neutralne względem koloru* (singlety koloru, “białe”). Jest to *hipoteza*, poparta doświadczalnym faktem braku obserwacji stanów kolorowych.

Grupę transformacji w przestrzeni koloru oznacza się jako  $SU(3)_c$ . Na mocy hipotezy neutralności kolorowej stanów fizycznych, część funkcji falowej związana z kolorem ma postać

$$\frac{1}{\sqrt{3}}q_a\bar{q}^a = \frac{1}{\sqrt{3}}(r\bar{r} + b\bar{b} + g\bar{g}) \quad (2.3)$$

dla mezonów, oraz

$$\frac{1}{\sqrt{6}}\epsilon^{abc}q_aq_bq_c = \frac{1}{\sqrt{6}}(rbg + bgr + grb - brg - rgb - gbr) \quad (2.4)$$

dla barionów, gdzie  $a, b, c$  są indeksami koloru, a  $\epsilon^{abc}$  jest tensorem Levi-Civity. Tak więc w mezonie kwark i antykwark mają przeciwne kolory, a w barionie kolor każdego kwarku jest różny. Wracając do naszego przykładu ze stanem  $\Delta^{++}$ , zauważmy, że teraz zasada Pauliego jest spełniona, ponieważ każdy kwark ma inny kolor. Problem statystyki i spinu kwarków został rozwiązany.



Hipoteza neutralności kolorowej obserwowanych stanów hadronowych wiąże się z tzw. *uwięzieniem* koloru, (color confinement)<sup>1</sup> która mówi, że obiekty kolorowe (kwarki, gluony, di-kwarki, ...) nie mogą być zrealizowane jako tzw. stany asymptotyczne (czyli oddzielone od innych układów hadronów). Tak więc kwarki nie dają się na trwałe uwolnić z hadronów. Do dziś nie mamy teoretycznego wyjaśnienia, dlaczego tak jest – problem uwięzienia koloru pozostaje jedną z największych zagadek oddziaływań silnych.

## 2.4 Stany związane kwarków i rezonanse hadronowe

## 2.5 Zachowanie zapachu w oddziaływaniach silnych

## 2.6 $R$ w rozpraszaniu $e^+e^-$

Jednym z koronnych dowodów na realność kwarków jako obiektów dynamicznych jest zależność energetyczna przekroju czynnego na produkcję hadronów w rozpraszaniu  $e^+e^-$ .

Wielkość  $R$  zdefiniowana jest jako

$$R = \frac{\sigma(e^+e^- \rightarrow \text{hadrony})}{\sigma(e^+e^- \rightarrow \mu^+\mu^-)}. \quad (2.5)$$

Rys. 2.2 przedstawia diagramy dla procesów  $e^+e^- \rightarrow \mu^+\mu^-$  oraz  $e^+e^- \rightarrow q\bar{q}$ . Różnica między tymi diagramami tkwi w wielkości ładunków elektrycznych w jednym z wierzchołków, oraz w tym, że diagram kwarkowy występuje trzykrotnie, ponieważ kwarki występują w trzech kolorach. Przekrój czynny proporcjonalny jest do kwadratu amplitudy, a zatem procesy z Rys. 2.2 prowadzą do wyniku

$$R \simeq \frac{3 \sum_{f=u,d,s,c,\dots} Q_f^2}{e^2} = 3 \left( \frac{1}{9} + \frac{4}{9} + \frac{1}{9} + \frac{4}{9} + \dots \right), \quad (2.6)$$

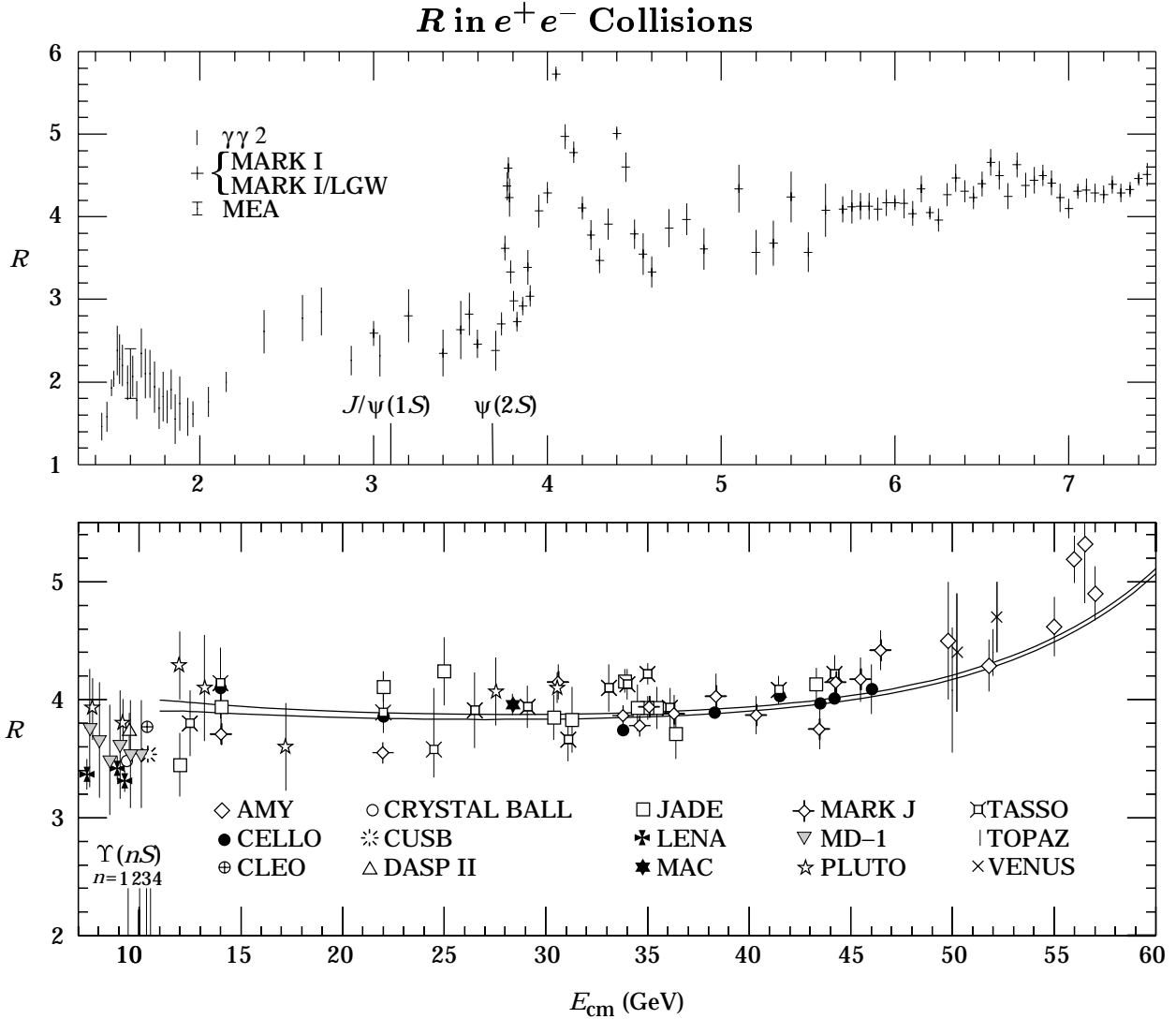
gdzie  $Q_f$  oznacza ładunek elektryczny kwarku o zapachu  $f$ . Do energii  $\sim 2m_c$  jedynie kwarki  $u$ ,  $d$  i  $s$  dają przyczynki, zatem  $R \sim 2$ . Dla energii między  $2m_c$  i  $2m_b$  otrzymujemy  $R \sim 3\frac{1}{3}$ , powyżej  $2m_b$  mamy  $R \sim 3\frac{2}{3}$ . Te przewidywania z grubsza zgadzają się z wynikami doświadczalnymi (zob. Rys. 2.1). Dokładniejszy rachunek uwzględnia obecność rezonansów, tzw. poprawki radiacyjne, oraz wyższe efekty oddziaływań silnych i elektroślabych. Gdyby nie było koloru,  $R$  byłoby 3 razy mniejsze i niemożliwe byłoby uzyskanie zgodności teorii i danych doświadczalnych.

## 2.7 Rozpad $\pi^0 \rightarrow \gamma\gamma$

Innego dowodu na obecność trzech kolorów dostarcza rozpad  $\pi^0 \rightarrow \gamma\gamma$ , którego amplitudę przedstawia diagram 2.3. Amplituda jest proporcjonalna do czynnika

$$3 \sum_f I_3^f Q_f^2 = 3 \times 1/2 \times (4/9 - 1/9), \quad (2.7)$$

<sup>1</sup>Zjawisko to dawniej chętnie określano mianem *niewoli podczerwonej* (infrared slavery)

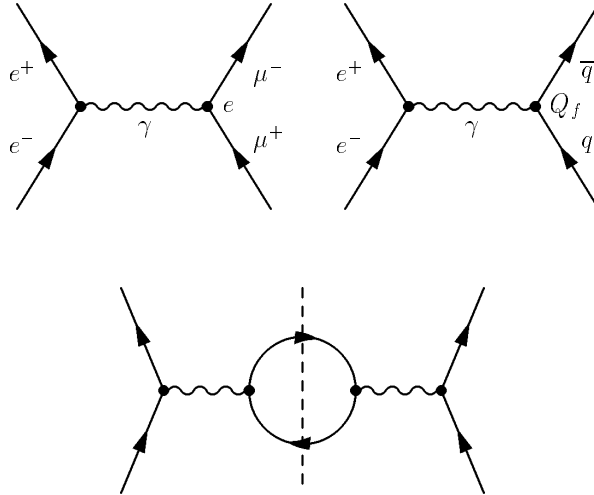


Rys. 2.1: Doświadczalna zależność  $R$  w rozpraszaniu  $e^+e^-$  od energii w układzie środka masy. Linie ciągłe na dolnym rysunku są przewidywaniami teoretycznymi wyprowadzonymi z QCD z trzema kolorami (przedruk z [?]).

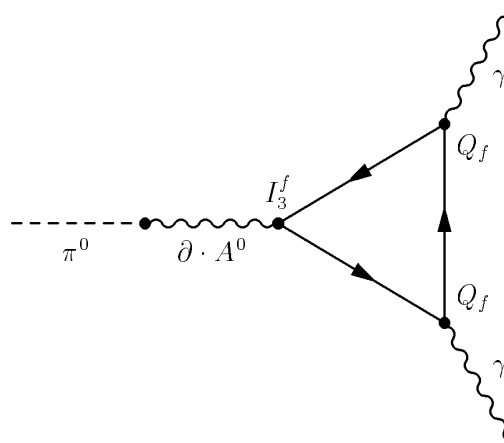
gdzie czynnik 3 jest ilością kolorów,  $I_3^f$  izospinem kwarku o zapachu  $f$ , a  $Q_f$  jego ładunkiem elektrycznym. Szerokosc  $\pi^0$  obliczona wg. Rys. 2.3 wynosi

$$\Gamma_{\pi^0 \rightarrow \gamma\gamma} = \frac{\alpha_{QED}^2 m_\pi^3}{64\pi^3 F_\pi^2}, \quad (2.8)$$

gdzie  $\alpha_{QED} = 1/137.04$  jest elektromagnetyczną stałą struktury subtelnej, a  $F_\pi = 93\text{MeV}$  jest stałą rozpadu pionu. Wzór 2.8 daje  $\Gamma_{\pi^0 \rightarrow \gamma\gamma} = 7.6\text{eV}$ , podczas gdy doświadczalnie  $\Gamma_{\pi^0 \rightarrow \gamma\gamma} = (7.4 \pm 1.5)\text{eV}$ . Bez czynnika liczby kolorów wynik teoretyczny byłby aż 9 razy mniejszy!



Rys. 2.2: Procesy  $e^+e^- \rightarrow \mu^+\mu^-$  i  $e^+e^- \rightarrow q\bar{q}$  (góra) oraz kwadrat amplitudy tych procesów (dół).



Rys. 2.3: Amplituda procesu  $\pi^0 \rightarrow \gamma\gamma$ .

1

## 2.8 Konstrukcja funkcji falowych nukleonu i izobaru $\Delta$

Bariony są stanami związanymi trzech kwarków. Oznaczmy stan pojedynczego kwarku jako  $|q\rangle$ . Funkcja falowa stanu związanego trzech kwarków o spinie  $j$ , rzucie spinu  $m$ , izospinie  $I$  i rzucie izospinu  $I_3$  ma postać

$$\Psi_{j,m;I,I_3}(\vec{x}_1, \vec{x}_2, \vec{x}_3) = \phi_c \Phi_{sf} \chi(\vec{x}_1 - \vec{x}_2, \vec{x}_2 - \vec{x}_3), \quad (2.9)$$

## 2.8. KONSTRUKCJA FUNKCJI FALOWYCH NUKLEONU I IZOBARU $\Delta_{19}$

gdzie  $\phi_c$  oznacza część kolorową,  $\Phi_{sf}$  część spinowo-zapachową, a  $\chi$  część przestrzenną. Położenie  $i$ -tego kwarku oznaczyliśmy jako  $x_i$ . Niezmienniczość względem translacji powoduje, że  $\chi$  zależy tylko od względnych położenia kwarków. Funkcja falowa  $\Psi_{j,m;I,I_3}$  spełnia następujące warunki:

1. jest antysymetryczna przy zamianie dwóch dowolnych kwarków miejscami (statystyka Fermiego-Diraca),
2. jest singletem koloru (hipoteza, że stany fizyczne są "białe").

Zajmijmy się najpierw czescią  $\phi_c \Phi_{sf}$ . Funkcja ta zawiera iloczyn trzech funkcji pojedynczego kwarku,  $|q(1)\rangle|q'(2)\rangle|q''(3)\rangle$ , gdzie 1, 2, 3 numerują kwark, a primy oznaczają, że stany  $q$ ,  $q'$  i  $q''$  są w ogólności różne. Wygodnie jest przyjąć konwencję wypisywania funkcji jednocząstkowych w kolejności 1, 2, 3. Pozwala to na prostszą notację:

$$|q(1)\rangle|q'(2)\rangle|q''(3)\rangle \equiv |qq'q''\rangle. \quad (2.10)$$

Zdefiniujmy teraz dla wygody operator symetryzujący  $\{.\}$  i antysymetryzujący  $[.]$  trzech obiektów:

$$\{a, b, c\} = \frac{1}{\sqrt{6}} (abc + cab + bca + bac + acb + cba), \quad (2.11)$$

$$\{a, a, b\} = \frac{1}{\sqrt{3}} (aab + aba + baa), \quad (2.12)$$

$$[a, b, c] = \frac{1}{\sqrt{6}} (abc + cab + bca - bac - acb - cba). \quad (2.13)$$

Warunek (2) oznacza, że część kolorowa funkcji falowej ma postać singletu:

$$\phi_c = \frac{1}{\sqrt{6}} (|rbg\rangle + |bgr\rangle + |grb\rangle - |brg\rangle - |rgb\rangle - |gbr\rangle) = |[r, b, g]\rangle, \quad (2.14)$$

czyli jest *antysymetryczna* ze względu na zamianę miejscami dwóch dowolnych kwarków. W związku z tym warunek (1) oznacza, że pozostała część funkcji falowej barionu, czyli  $\Phi_{sf}\chi$  musi być *symetryczna*. Okazuje się, że dla najniższej leżących barionów, takich jak  $N$  i  $\Delta(1232)$ , funkcja  $\chi$  jest symetryczna (do tego problemu wrócimy w rozdziale 4.1). Tak więc  $\Phi_{sf}$  musi być symetryczna. Pozwala to na prostą konstrukcję spinowo-zapachowych funkcji falowych  $\Phi_{sf}$ , którą przedstawiamy poniżej.

Zacznijmy od stanu  $\Delta^{++}$ , dla którego  $I = \frac{3}{2}$ ,  $I_3 = \frac{3}{2}$ ,  $j = \frac{3}{2}$ , oraz  $m = \frac{3}{2}$ :

$$|\Delta^{++}, m = \frac{3}{2}\rangle_{sf} = |u \uparrow u \uparrow u \uparrow\rangle \quad (2.15)$$

Zastosujmy teraz operator obniżania rzutu spinu  $J^- = J_1 - iJ_2$ , który działając na stan  $|j, m\rangle$  daje

$$J^- |j, m\rangle = \sqrt{j(j+1) - m(m-1)} |j, m-1\rangle. \quad (2.16)$$

W szczególności

$$J^-|j, j\rangle = \sqrt{2j}|j, j-1\rangle. \quad (2.17)$$

Analogicznie wprowadzamy operator obniżania izospinu:

$$I^-|I, I_3\rangle = \sqrt{I(I+1) - I_3(I_3-1)}|I, I_3-1\rangle. \quad (2.18)$$

Działając operatorem  $J^-$  na stan (2.15) otrzymujemy, zgodnie z (2.16),

$$J^-|\Delta^{++}, m = \frac{3}{2}\rangle = \sqrt{3}|\Delta^{++}, m = \frac{1}{2}\rangle. \quad (2.19)$$

Operatory  $J^-$  i  $I^-$  mogą być wyrażone jako suma operatorów  $J_i^-$  i  $I_i^-$  działających na  $i$ -ty kwark:

$$J^- = \sum_{i=1}^3 J_i^-, \quad I^- = \sum_{i=1}^3 I_i^-. \quad (2.20)$$

Stosując (2.16) po prawej stronie (2.15) otrzymujemy równość

$$\begin{aligned} J^-|\Delta^{++}, m = \frac{3}{2}\rangle_{sf} &= \sum_{i=1}^3 J_i^-|u \uparrow u \uparrow u \uparrow\rangle = \\ &= |u \downarrow u \uparrow u \uparrow\rangle + |u \uparrow u \downarrow u \uparrow\rangle + |u \uparrow u \uparrow u \downarrow\rangle \\ &= \sqrt{3}|\{u \downarrow, u \uparrow, u \uparrow\}\rangle, \end{aligned} \quad (2.21)$$

co w połączeniu z (2.19) daje spinowo-zapachową funkcję falową stanu  $\Delta^{++}$  o rzucie spinu  $m = \frac{1}{2}$ :

$$|\Delta^{++}, m = \frac{1}{2}\rangle_{sf} = |\{u \downarrow, u \uparrow, u \uparrow\}\rangle. \quad (2.22)$$

Podziałajmy teraz na równanie (2.22) operatorem  $I^-$ . Otrzymujemy stan o rzucie izospinu  $I_3 = \frac{1}{2}$ , czyli  $\Delta^+$ :

$$I^-|\Delta^{++}, m = \frac{1}{2}\rangle_{sf} = \sqrt{3}|\Delta^+, m = \frac{1}{2}\rangle_{sf}. \quad (2.23)$$

Z drugiej strony użycie (2.22) daje, pokrótka rachunku,

$$\begin{aligned} I^-|\Delta^{++}, m = \frac{1}{2}\rangle_{sf} &= \sum_{i=1}^3 I_i^-|\{u \downarrow, u \uparrow, u \uparrow\}\rangle \\ &= |\{d \downarrow, u \uparrow, u \uparrow\}\rangle + \sqrt{2}|\{d \uparrow, u \downarrow, u \uparrow\}\rangle. \end{aligned} \quad (2.24)$$

Przyrównanie (2.23) i (2.24) daje spinowo-zapachową funkcję falową czastki  $\Delta^+$  o rzucie spinu  $m = \frac{1}{2}$ :

$$|\Delta^+, m = \frac{1}{2}\rangle_{sf} = \frac{1}{\sqrt{3}}|\{d \downarrow, u \uparrow, u \uparrow\}\rangle + \sqrt{\frac{2}{3}}|\{d \uparrow, u \downarrow, u \uparrow\}\rangle. \quad (2.25)$$

Zauważmy teraz, że funkcja jest ta kombinacją liniową dwóch *różnych* symetrycznych funkcji:  $|\{d \downarrow, u \uparrow, u \uparrow\}\rangle$  i  $|\{d \uparrow, u \downarrow, u \uparrow\}\rangle$ . Ponadto funkcje te są ortogonalne,

tzn.  $\langle \{d \downarrow, u \uparrow, u \uparrow\} | \{d \uparrow, u \downarrow, u \uparrow\} \rangle = 0$ . Możemy zatem utworzyć inną kombinację liniową postaci

$$|p, m = \frac{1}{2}\rangle_{sf} = \sqrt{\frac{2}{3}}|\{d \downarrow, u \uparrow, u \uparrow\}\rangle - \frac{1}{\sqrt{3}}|\{d \uparrow, u \downarrow, u \uparrow\}\rangle, \quad (2.26)$$

spełniającą warunki  ${}_{sf}\langle \Delta^+, m = \frac{1}{2} | p, m = \frac{1}{2} \rangle_{sf} = 0$ , oraz  ${}_{sf}\langle p, m = \frac{1}{2} | p, m = \frac{1}{2} \rangle_{sf} = 1$ . Stan  $|p, m = \frac{1}{2}\rangle_{sf}$  jest rzecz jasna stanem o rzucie izospinu 1/2. Ponieważ jest ortogonalny do stanu  $|\Delta^+, m = \frac{1}{2}\rangle_{sf}$ , może to być tylko stan o izospinie  $I = 1/2$ , czyli *proton*. Stan neutronu otrzymujemy poprzez zamianę kwarków  $u$  i  $d$ :

$$|n, m = \frac{1}{2}\rangle_{sf} = \sqrt{\frac{2}{3}}|\{u \downarrow, d \uparrow, d \uparrow\}\rangle - \frac{1}{\sqrt{3}}|\{u \uparrow, d \downarrow, d \uparrow\}\rangle, \quad (2.27)$$

W analogiczny sposób można otrzymać spinowo-zapachowe funkcje falowe dla łącznie 20-tu stanów nukleonu i izobaru  $\Delta$ .

Możemy łatwo sprawdzić, że ładunki elektryczne stanów  $\Delta^{++}$ ,  $\Delta^+$ ,  $p$  i  $n$  wynoszą, odpowiednio, 2, 1, 1 i 0. W tym celu przypomnijmy, że  $\langle u | Q | u \rangle = \frac{2}{3}$ ,  $\langle d | Q | d \rangle = -\frac{1}{3}$ ,  $\langle d | Q | u \rangle = 0$ , gdzie  $Q$  jest operatorem ładunku elektrycznego kwarku. Operator ładunku elektrycznego dla barionu ma postać  $\hat{Q} = \sum_{i=1}^3 Q(i)$ . Na przykład dla protonu otrzymujemy ze wzoru (2.26)

$$Q_p = \langle p, m = \frac{1}{2} | \hat{Q} | p, m = \frac{1}{2} \rangle = \frac{2}{3} \left( -\frac{1}{3} + \frac{2}{3} + \frac{2}{3} \right) + \frac{1}{3} \left( -\frac{1}{3} + \frac{2}{3} + \frac{2}{3} \right) = 1. \quad (2.28)$$

## 2.9 Momenty magnetyczne protonu i neutronu

Operator momentu magnetycznego dla kwarku  $i$  ma postać  $\mu Q(i) \sigma_z(i)$ , gdzie  $\mu$  jest pewną (nieznaną) stałą,  $Q(i)$  ładunkiem elektrycznym kwarku  $i$ , a  $\sigma_z(i)$  macierzą Pauliego działającą w przestrzeni spinu kwarku  $i$ . Operator momentu magnetycznego dla stanów barionowych jest sumą operatorów dla poszczególnych kwarków:

$$\hat{\mu} = \mu \sum_{i=1}^3 Q(i) \sigma_z(i). \quad (2.29)$$

Używając wyprowadzonych funkcji falowych, oraz elementów macierzowych  $\langle \uparrow | \sigma_z | \uparrow \rangle = 1$ ,  $\langle \downarrow | \sigma_z | \downarrow \rangle = -1$ ,  $\langle \uparrow | \sigma_z | \downarrow \rangle = 0$ , możemy łatwo policzyć momenty magnetyczne protonu i neutronu:

$$\begin{aligned} \mu_p &\equiv \langle p, m = \frac{1}{2} | \hat{\mu} | p, m = \frac{1}{2} \rangle = \left[ \frac{2}{3} \left( \frac{1}{3} + \frac{2}{3} + \frac{2}{3} \right) + \frac{1}{3} \left( -\frac{1}{3} - \frac{2}{3} + \frac{2}{3} \right) \right] \mu = \mu, \\ \mu_n &\equiv \langle n, m = \frac{1}{2} | \hat{\mu} | n, m = \frac{1}{2} \rangle = \left[ \frac{2}{3} \left( -\frac{2}{3} - \frac{1}{3} - \frac{1}{3} \right) + \frac{1}{3} \left( \frac{2}{3} + \frac{1}{3} - \frac{1}{3} \right) \right] \mu = -\frac{2}{3} \mu. \end{aligned} \quad (2.30)$$

Wynika stąd jeden z bardzo głośnych sukcesów modelu kwarków, mianowicie stosunek momentów magnetycznych neutronu i protonu wynosi

$$\frac{\mu_n}{\mu_p} = -\frac{2}{3}, \quad (2.31)$$

podczas gdy doświadczalnie  $\mu_n/\mu_p = -1.913/2.793 = -0.68$ .

## 2.10 Funkcje falowe mezonów

A oto przykłady spinowo-izospinowych funkcji falowych dla mezonów o  $L = 0$ :

$$\begin{aligned} |\pi^+ \rangle_{\text{sf}} &= \frac{1}{2}(|u\bar{d} \rangle + |\bar{d}u \rangle)(|\uparrow\downarrow \rangle - |\downarrow\uparrow \rangle), \\ |\rho^+ \rangle_{\text{sf}} &= \frac{1}{2}(|u\bar{d} \rangle - |\bar{d}u \rangle)(|\uparrow\downarrow \rangle + |\downarrow\uparrow \rangle). \end{aligned} \quad (2.32)$$

Symetria  $C$  (sprzężenie ładunkowe) i  $G$  (parzystość  $G$ ) działają na kwarki  $u$  i  $d$  w następujący sposób:

$$\begin{aligned} G &= Ce^{i\pi I_2} = Ci\tau_2 = \begin{pmatrix} 0 & 1 \\ -1 & 0 \end{pmatrix}, \\ C|q \rangle &= |\bar{q} \rangle, \quad C|\bar{q} \rangle = |q \rangle, \\ G|u \rangle &= |\bar{d} \rangle, \quad G|\bar{d} \rangle = -|u \rangle, \quad G|d \rangle = -|\bar{u} \rangle, \quad G|\bar{u} \rangle = |d \rangle, \end{aligned} \quad (2.33)$$

skąd łatwo sprawdzić, że

$$G|\pi^+ \rangle = -|\pi^+ \rangle, \quad G|\rho^+ \rangle = |\rho^+ \rangle \quad (2.34)$$

Stwierdźmy jeszcze oczywisty fakt, że, w odróżnieniu od przypadku barionów, dla funkcji falowych mezonów nie mamy ograniczeń wynikających z symetrii. Kwark i antykwark są rozróżnialnymi cząstkami i nie podlegają zasadzie Pauliego.

# 3

## Chromodynamika kwantowa

### 3.1 Dynamika kolorowa i gluony

Chromodynamika kwantowa (Quantum Chromodynamics, QCD) jest teorią pola kwarków i gluonów. Lagranżjan QCD ma postać

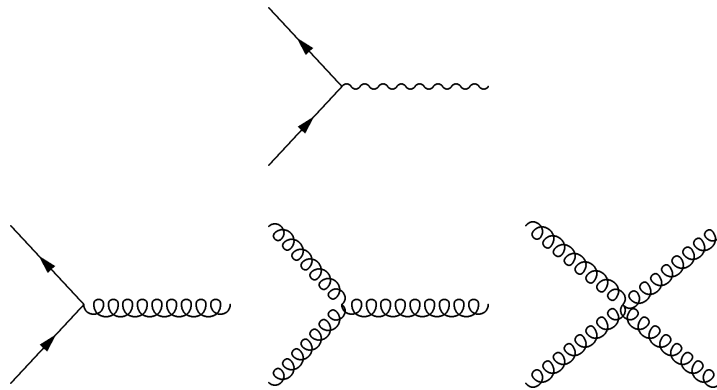
$$L = \sum_f \bar{\psi}_c (D^\mu \gamma_\mu - m_f) \delta^{\bar{c}c} \psi_c - \frac{1}{4} G_{\mu\nu}^a G_a^{\mu\nu}, \quad c, \bar{c} = 1, 2, 3,$$

$$D^\mu = \partial^\mu - \frac{ig}{2} A_a^\mu \lambda^a, \quad G_a^{\mu\nu} = \partial^\mu A_a^\nu - \partial^\nu A_a^\mu + \frac{ig}{4} f_a^{bd} A_b^\mu A_d^\nu, \quad a, b, d = 1, \dots, 8$$

gdzie  $\psi_c$  oznacza pole kwarkowe o kolorze  $c$ , a  $A_a^\mu$  oznacza pole gluonu o wskaźniku Lorentza  $\mu$  i wskaźniku koloru  $a$ . Gluonów jest  $N_c(N_c - 1) = 8$ . Liczby  $f_a^{bd}$  są stałymi struktury grupy  $SU(3)$  (zob. roz. C.1). Lagranżjan  $L$  jest niezmienniczy względem lokalnej symetrii cechowania  $SU(3)_c$ , gdzie indeks  $c$  przypomina, że symetrią jest kolor.

Tabela 3.1 porównuje podstawowe cechy elektrodynamiki i chromodynamiki.

Pośrednie obserwacje gluonu zostały dokonane na akceleratorze Petra w 1979 r. Zaobserwowano tam tzw. przypadki trójdzetowe, pochodzące z hadronizacji

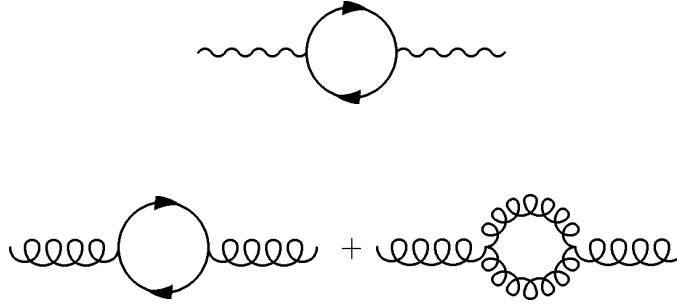


Rys. 3.1: Wierzchołki oddziaływań w QED (górze) i QCD (dół)



QED	QCD
abelowe cechowanie	nieabelowe cechowanie
jeden rodzaj ładunku	3 rodzaje ładunku
fotony neutralne	gluony niosą ładunek
stała sprzężenia rośnie z przekazem pędu	stała sprzężenia maleje z przekazem pędu
ekranowanie	antyekranowanie
	asymptotyczna swoboda
	uwięzienie kwarków
próżnia perturbacyjna	próżnia bardzo skomplikowana, kondensaty
dokładne przewidywania dynamiczne	przybliżone przewidywania dynamiczne

Tabela 3.1: Porównanie podstawowych własności QED i QCD

Rys. 3.2: Renormalizacja  $\alpha_{QED}$  i  $\alpha_{QCD}$  w wiodącym rzędzie rachunku zaburzeń.

początkowego stanu zawierającego kwark, antykwark i gluon.

### 3.2 Asymptotyczna swoboda

Perturbacyjna ewolucja stałych sprzężenia:

$$\alpha_{QED}(Q^2) = \frac{\alpha_{QED}(\mu^2)}{1 - \alpha_{QED}(\mu^2) \frac{1}{3\pi} \log \frac{Q^2}{\mu^2}}, \quad (3.1)$$

$$\alpha_s(Q^2) = \frac{\alpha_s(\mu^2)}{1 + \alpha_s(\mu^2) \frac{33-2n_f}{12\pi} \log \frac{Q^2}{\mu^2}}. \quad (3.2)$$

Zatem  $\alpha_s(Q^2)$  malej z  $Q^2$ , czyli rośnie z odległością. Rys. ekranowania i antyekranowania.

### 3.3 Wymiana gluonu

W elektrodynamice oddziaływanie poprzez wymianę fotonu między dwiema cząstkami o ładunkach  $Q_1$  i  $Q_2$  prowadzi do oddziaływania proporcjonalnego do iloczynu  $Q_1 Q_2$ . Na przykład potencjał kulombowski dany jest wzorem  $V_{\text{coul}}(r) = Q_1 Q_2 / r$ . Kwarki oddziałują między sobą poprzez wymianę gluonu. Ładunek kolorowy kwarku nie jest liczbą, ale macierzą  $\lambda^a / 2$ . Nieabelowość chromodynamiki powoduje więc ciekawy efekt: wielkość oraz znak oddziaływania kulombowskiego zależy od stanu kolorowego w jakim znajdują się kwarki. Kwarki  $i$  oraz  $j$  mogą wymienić 8 gluonów. Oddziaływanie kwark-kwark jest proporcjonalne do elementu macierzowego

$$\langle \phi_c | \sum_{a=1}^8 \frac{\lambda_i^a}{2} \frac{\lambda_j^a}{2} | \phi_c \rangle, \quad (3.3)$$

a oddziaływanie kwark-antykwarok do elementu

$$\langle \phi_c | \sum_{a=1}^8 \frac{\lambda_i^a}{2} \frac{-(\lambda_j^a)^*}{2} | \phi_c \rangle, \quad (3.4)$$

gdzie  $|\phi_c\rangle$  jest kolorową funkcją falową układu. I tak dla singletów koloru otrzymujemy (zob. np. [?])

$$\begin{aligned} \langle \text{singlet } qq | \sum_{a=1}^8 \frac{\lambda_i^a}{2} \frac{\lambda_j^a}{2} | \text{singlet } qq \rangle &= -\frac{2}{3}, \\ \langle \text{singlet } \bar{q}q | \sum_{a=1}^8 \frac{\lambda_i^a}{2} \frac{-(\lambda_j^a)^*}{2} | \text{singlet } \bar{q}q \rangle &= -\frac{4}{3}, \end{aligned} \quad (3.5)$$

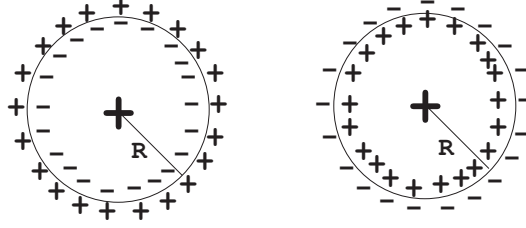
co oznacza, że elektryczne oddziaływania między każdą parą kwarków w barionie, oraz między kwarkiem i antykwarkiem w mezonie, są *przyciągające*. Analogiczny rachunek dla innych kolorowych funkcji falowych prowadzi do następujących wzorów:

$$\begin{aligned} \langle \text{sekszet } qq | \sum_{a=1}^8 \frac{\lambda_i^a}{2} \frac{\lambda_j^a}{2} | \text{sekszet } qq \rangle &= \frac{1}{3}, \\ \langle \text{oktet } \bar{q}q | \sum_{a=1}^8 \frac{\lambda_i^a}{2} \frac{-(\lambda_j^a)^*}{2} | \text{oktet } \bar{q}q \rangle &= \frac{1}{6}, \end{aligned} \quad (3.6)$$

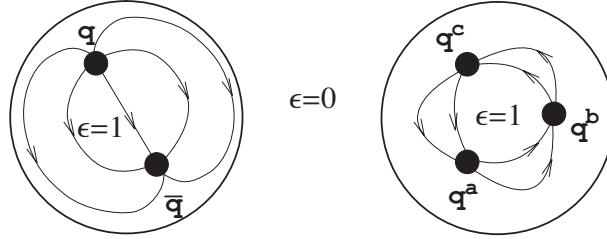
co oznacza odpychanie. A zatem perturbacyjna wymiana jednogluonowa powoduje przyciąganie w stanach singletu kolorowego  $qq$  i  $\bar{q}q$ , oraz odpychanie w stanach kolorowych.

### 3.4 Uwięzienie koloru

Uwięzienie koloru, jak już wspomnieliśmy, nie zostało jak dotąd wyjaśnione na gruncie pierwszych zasad. Istnieje natomiast szereg hipotez i modeli, usiłujących



Rys. 3.3: Ekranowanie ładunku w ośrodku o stałej dielektrycznej  $\epsilon > 1$  i antyekranowanie ładunku w hipotetycznym ośrodku o  $\epsilon < 1$ .



Rys. 3.4: Konfiguracja kolorowego pola elektrycznego w mezonie i barionie. Linie pola nie są wpuszczane do obszaru próżni, gdzie  $\epsilon = 0$ , i pozostają uwięzione wewnątrz worka.

opisa to zagadnienie. T. D. Lee wysuwał hipotezę zgodnie z którą próżnia chromodynamiki stanowi doskonały dia-elektryk, tzn. ośrodek o znikającej stałej dielektrycznej  $\epsilon$ . Prześledźmy jego argumentację. Załóżmy, że mamy kolorowy, zlokalizowany, ładunek  $Q$ . Zgodnie z prawem Gaussa, z dala od ładunku pole indukcji elektrycznej dane jest wzorem

$$D = \frac{Q}{r^2}. \quad (3.7)$$

Między polami indukcji elektrycznej i polem elektrycznym zachodzi związek

$$D = \epsilon E, \quad (3.8)$$

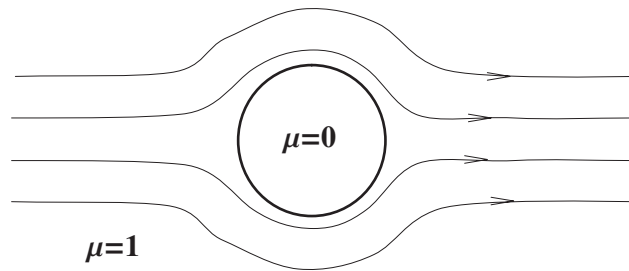
gdzie  $\epsilon$  jest stałą dielektryczną ośrodka (próżni QCD). Gęstość energii dana jest wzorem

$$\rho = ED = \frac{Q^2}{\epsilon r^4}. \quad (3.9)$$

Oczywistym jest, że jeśli  $\epsilon = 0$ , wówczas  $\rho = \infty$ . Wynika stąd, że niemożliwe jest istnienie izolowanego ładunku kolorowego. Rys. (T. D. Lee, 17.5,6). Jedynie stany singletowe mogą mieć skończoną energię. Kwarki, czy gluony, sprzężone do singletu koloru, deformują lokalnie próżnię, tak, że tworzy się obszar wewnątrz którego  $\epsilon > 0$ . To swoiste kopanie dołka, czy worka, w próżni przedstawione jest na Rys. (T. D. Lee, 17.8). Na zewnątrz worka  $\epsilon = 0$ , wewnątrz  $\epsilon = 1$ . Rysunek przedstawia również linie elektrycznego pola kolorowego,  $E$ , łączące kwarki. Pole  $D$  znika na zewnątrz worka. Wynika stąd,

QED		QCD
nadprzewodnictwo	$\leftrightarrow$	uwięzienie
$H$	$\leftrightarrow$	$E$
$\mu_{\text{wewn}} = 0$	$\leftrightarrow$	$\varepsilon_{\text{vac}} = 0$
$\mu_{\text{vac}} = 1$	$\leftrightarrow$	$\varepsilon_{\text{wewn}} = 1$
wewnątrz	$\leftrightarrow$	zewnątrz
zewnątrz	$\leftrightarrow$	wewnątrz

Tabela 3.2: Analogia uwięzienia koloru w QCD z nadprzewodnictwem w QED

Rys. 3.5: Efekt Meissnera w nadprzewodnictwie. Pole magnetyczne wypychane jest z obszaru nadprzewodnika, gdzie  $\mu = 0$ .

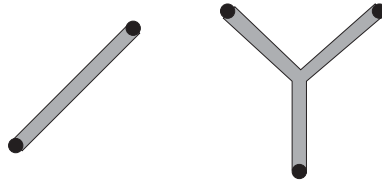
że linie pola są *całkowicie zawarte wewnątrz worka*, a w pobliżu ściany przebiegają stycznie, tak, aby poprzeczna składowa pola  $D$  była ciągła przy przejściu przez ścianę, zgodnie z zasadami elektrostatyki. Rzecz jasna, na powierzchni ściany indukowany jest odpowiedni rozkład ładunku kolorowego, który zapewnia wyżej opisaną konfigurację pola elektrycznego.

Tabela 3.4 przedstawia analogię hipotezy doskonałego dia-elektryka do efektu Meissnera w nadprzewodnictwie. Tak, jak pole  $H$  jest nie wpuszczane do wnętrza nadprzewodnika, gdzie podatność magnetyczna  $\mu = 0$ , tak pole  $E$  jest nie wypuszczane na zewnątrz worka, gdzie  $\varepsilon = 0$ .

Z wytworzeniem worka musi wiązać się pewna praca. Zakładamy bowiem, że (z definicji) próżnia jest stanem o najniższej energii. Tak więc obszar worka jest możliwie mały. W rozdziale 4 przedstawimy szczegółowo dymanikę modeli worków, a tutaj skupimy się tylko na jakościowych implikacjach uwięzienia koloru. Jeśli zaczniemy oddalać od siebie dwa ładunki kolorowe, to łączące je linie elektrycznego pola kolorowego pozostają w wąskim obszarze tuby kolorowej (color flux tube). Dla dużych odległości  $d$  między ładunkami energia potencjalna układu wyraża się wzorem  $V = a + \sigma d$ , gdzie  $a$  i  $\sigma$  są stałymi. Siła działająca na kwark skierowana jest wzdłuż tuby i ma stałą wartość  $\sigma$ , nazywaną *napięciem struny*. Stałą tę można wyznaczyć z modeli stanów związanych ciężkich kwarków, oraz z modeli strun, otrzymując

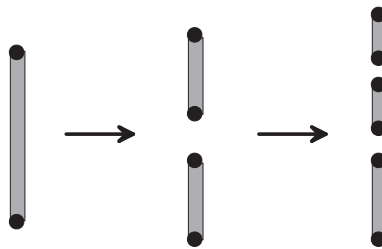
$$\sigma \simeq 1 \frac{\text{GeV}}{\text{fm}}. \quad (3.10)$$

Na małych odległościach oddziaływanie między ładunkami jest kulombowskie,



Rys. 3.6: Tuby kolorowe w mezonie i barionie.

zgodnie z wzorami (3.5). Ładunków kolorowych nie można oddzielić od siebie na zbyt dużą odległość. Liniowy wzrost  $V$  z  $d$  prowadzi do szybkiego wzrostu energii układu, i przy pewnym krytycznym  $d$  układ rozpada się na dwie mniejsze struny. Jest to energetycznie korzystne. W wyniku pęknięcia struny na powstałych końcach tworzą się nowe ładunki kolorowe. Powyższy mechanizm może opisywać np. rozpad mezonu na dwa mezony (Rys.). Teoriopólowym mechanizmem odpowiedzialnym za pękanie strun jest tunelowanie Schwingera.



Rys. 3.7: Pękanie tub kolorowych.

## 4

# Modele oparte o uwięzienie

Przedstawimy teraz dwa bardzo popularne podejścia do opisu struktury hadronów, opierające się na zjawisku uwięzienia kwarków.

## 4.1 Nierelatywistyczny model kwarków

Uzasadnienie nierelatywistycznego (zwanego również naiwnym) modelu kwarków zaczyna się zwyczajowo od obrazu z tubami kolorowymi. Mezon to kwark i antykwark połączone tubą, a barion to trzy kwarki połączone tubami w konfiguracji “Y”. Konfiguracja Y nie jest wygodna do “dalszej obróbki”, ponieważ zawiera oddziaływania trzyciałowe. Zamienia się ją wobec tego na konfigurację  $\Delta$  (Rys.), w której napięcia strun są dwa razy mniejsze. Reguła  $\Delta = Y$  jest przybliżeniem i wprowadza pewien błąd, który dla uzyskiwanych wyników szacuje się na poziomie “kilku procent”. Zauważmy nieco zabawną zbieżność, mianowicie dwa razy mniejsza wielkość napięcia strun w konfiguracji  $\Delta$  dla barionu w porównaniu z napięciem struny w mezonie zgadza się ze stosunkiem czynników w wymianie jednogluonowej we wzorach (3.5).

Następnym elementem nierelatywistycznego modelu kwarków jest przydzielenie kwarkom dużej masy, rzędu 300MeV dla  $u$  i  $d$  oraz 450MeV dla  $s$ . Masę tę nazywa się *konstytuentną* (constituent) w odróżnieniu od masy prądowej (current) z Tabeli 2.1. Masy konstytuencyjne są parametrami modelu. Mechanizm ich powstawania możemy sobie tylko wyobrazić: poprzez nieperturbacyjne oddziaływania kwark prądowy ubiera się w gluony i pary kwark-antycwark wtaki sposób, że powstaje kwazicząstka o dużej masie. W rozdziale 5.5.2 przedyskutujemy mechanizm powstawania mas konstytuencyjnych kwarków poprzez spontaniczne łamanie symetrii chiralnej.



Rys. 4.1: Przybliżona reguła “ $\Delta = Y$ ”. Oddziaływania w konfiguracji  $\Delta$  są dwa razy słabsze niż w konfiguracji Y.

Jesteśmy teraz gotowi do wypisania Hamiltonianu nierelatywistycznego modelu kwarków:

$$\begin{aligned}
H &= H_0 + H_{\text{conf}} + \sum_{i < j} \left( H_{\text{coul}}^{ij} + H_{\text{hyp}}^{ij} + H_{\text{so}}^{ij} \right), \quad (4.1) \\
H_0 &= \sum_i \left( M_i + \frac{p_i^2}{2M_i} \right), \quad H_{\text{conf}} = \sum_{i < j} (br_{ij} + c), \quad H_{\text{coul}}^{ij} = \frac{\alpha_s}{r_{ij}} \sum_{a=1}^8 F_i^a F_j^a, \\
H_{\text{hyp}}^{ij} &= -\frac{\alpha_s}{M_i M_j} \left( \frac{8\pi}{3} \vec{S}_i \cdot \vec{S}_j \delta^3(r_{ij}) + \frac{1}{r_{ij}^3} \left[ 3 \frac{\vec{S}_i \cdot \vec{r}_{ij} \vec{S}_j \cdot \vec{r}_{ij}}{r_{ij}^2} - \vec{S}_i \cdot \vec{S}_j \right] \right) \sum_{a=1}^8 F_i^a F_j^a, \\
H_{\text{so}}^{ij} &= -\frac{\alpha_s}{r_{ij}^3} \left( \frac{1}{M_i} + \frac{1}{M_j} \right) \left( \frac{\vec{S}_i}{M_i} + \frac{\vec{S}_j}{M_j} \right) \cdot \vec{L}_{ij} \sum_{a=1}^8 F_i^a F_j^a \\
&\quad - \frac{1}{2r_{ij}} \frac{dH_{\text{coul}}^{ij}}{dr_{ij}} \left( \frac{\vec{S}_i}{M_i^2} + \frac{\vec{S}_j}{M_j^2} \right) \cdot \vec{L}_{ij},
\end{aligned}$$

gdzie kolorowe ładunki  $i$ -tego kwarku lub antykwarku oznaczyliśmy jako  $F_i^a = \frac{1}{2}\lambda_i^a$ , lub, odpowiednio,  $F_i^a = \frac{1}{2}(-\lambda_i^a)^*$ . Hamiltonian (4.1) zawiera następujące człony: nierelatywistyczny człon swobodny,  $H_0$ , z masami konstytuentnymi  $M_i$ , człon opisujący uwięzienie,  $H_{\text{conf}}$ , oraz człony wynikające z nierelatywistycznej redukcji oddziaływania wymiany gluonu: człon kulombowski,  $H_{\text{coul}}^{ij}$ , człon magnetycznego rozszczepienia struktury subtelnej,  $H_{\text{hyp}}^{ij}$ , oraz człon spin-orbita,  $H_{\text{so}}^{ij}$ . Człony  $H_{\text{coul}}^{ij}$ ,  $H_{\text{hyp}}^{ij}$  i  $H_{\text{so}}^{ij}$  pochodzą z wymiany jednogluonowej w granicy dużych mas  $M$ . Tak więc formalnie wyrażenie (4.1) jest rozwinięciem nierelatywistycznym, czyli rozwinięciem w odwrotnych potęgach masy  $M$ . Analogiczne wzory pojawiają się w fizyce atomowej w opisie oddziaływania dwóch elektronów w atomie.

Część spin-orbita nie wnosi przyczynku dla barionów w fali  $S$ , dla których  $L = 0$ , w związku z czym spektrum stanów podstawowych jest nieczułe na to oddziaływanie. Dla opisu stanów wzbudzonych o  $L \neq 0$  oddziaływanie spin-orbita stwarza problemy. Z reguły opuszcza się pierwszy człon w tym oddziaływaniu, pozostawiając tylko drugi (tzw. człon precesji Thomasa). Procedura taka nie jest, rzecz jasna, konsystentna, co uwidacznia problemy z jakimi borykają się tego typu modele.

Nierelatywistyczny model kwarków rozwiązuje się technicznie w następujący sposób: wprowadza się Hamiltonian oscylatora harmonicznego,

$$H_0 = \sum_{i=1}^3 \left( M_i + \frac{\vec{p}_i^2}{2M_i} \right) + \sum_{i < j} \frac{1}{2} k (\vec{r}_i - \vec{r}_j)^2. \quad (4.2)$$

który generuje niezaburzone stany. Następnie traktuje się jako zaburzenie pozostałą część pełnego Hamiltonianu (4.1):

$$H_1 = H_{\text{conf}} - \sum_{i < j} \frac{1}{2} k (\vec{r}_i - \vec{r}_j)^2 + H_{\text{coul}}^{ij} + H_{\text{hyp}}^{ij} + H_{\text{so}}^{ij}. \quad (4.3)$$

Dla mezonów wprowadzamy współrzędne środka masy kwarku i antykwarku,  $R = (M_1 \vec{r}_1 + M_2 \vec{r}_2) / (M_1 + M_2)$ , oraz współrzędne względne,  $\vec{d} = \vec{r}_1 - \vec{r}_2$ .

Hamiltonian (4.2) separuje się na trywialną część ruchu środka masy,  $\frac{1}{2}(\vec{p}_1 + \vec{p}_2)^2 / (M_1 + M_2)$ , oraz na trójwymiarowy oscylator harmoniczny we współrzędnej  $\vec{d}$ . Problem ten jest szczegółowo dyskutowany w niemal każdym podręczniku mechaniki kwantowej. Tabela (Tab. z PDG) przedstawia identyfikację znanych mezonów ze stanami modelu kwarków. Przyjęta tu notacja spektroskopowa ma postać  $N^{2S+1}L_J$ , gdzie  $N$  oznacza radialną liczbę kwantową wzbudzenia oscylatora harmonicznego.

Przypadek barionów jest bardziej pracochłonny. Wprowadzamy współrzędne Jacobiego:

$$\begin{aligned} R &= \frac{M_1 \vec{r}_1 + M_2 \vec{r}_2 + M_3 \vec{r}_3}{M_1 + M_2 + M_3}, \\ \vec{\rho} &= \frac{1}{\sqrt{2}}(\vec{r}_1 - \vec{r}_2), \quad \vec{\lambda} = \frac{1}{\sqrt{6}}(\vec{r}_1 + \vec{r}_2 - 2\vec{r}_3), \end{aligned} \quad (4.4)$$

związane z nimi pędy oznaczamy odpowiednio:  $\vec{P}$ ,  $\vec{p}_\rho$  i  $\vec{p}_\lambda$ , a masę całkowitą jako  $3M$ . Dla przypadku  $M_1 = M_2 = M_3 = M$  Hamiltonian oscylatora harmonicznego daje się w powyższych współrzędnych zapisać jako

$$H = M + \frac{\vec{P}^2}{2(3M)} + \frac{\vec{p}_\rho^2}{2M} + \frac{3}{2}k\rho^2 + \frac{\vec{p}_\lambda^2}{2M} + \frac{3}{2}k\lambda^2. \quad (4.5)$$

Część związana z ruchem środka masy jest odseparowana i trywialna. Pozostała część to sześciowymiarowy oscylator harmoniczny. Wprowadźmy notację

$$\beta = (3kM)^{1/4}, \quad \omega = (3k/M)^{1/2}. \quad (4.6)$$

Rozwiązania równania Schroedingera mają postać

$$\Psi_{LL_3}^{N,\sigma} = \psi_{LL_3}^{N,\sigma} \frac{\beta^3}{\pi^{3/2}} e^{-\frac{1}{2}\beta^2(\rho^2 + \lambda^2)}, \quad (4.7)$$

gdzie funkcje  $\psi_{LL_3}^{N,\sigma}$  wyrażają się wzorami

$$\begin{aligned} \psi_{00}^{0,S} &= 1, \\ \psi_{11}^{1,\rho} &= \beta\rho_+, \quad \psi_{10}^{1,\rho} = \beta\rho_0, \quad \psi_{1-1}^{1,\rho} = \beta\rho_-, \\ \psi_{11}^{1,\lambda} &= \beta\lambda_+, \quad \psi_{10}^{1,\lambda} = \beta\lambda_0, \quad \psi_{1-1}^{1,\lambda} = \beta\lambda_-, \\ \psi_{00}^{2,S} &= \frac{1}{\sqrt{3}}\beta^2(\rho^2 + \lambda^2 - \frac{3}{\beta^2}), \\ \psi_{00}^{2,\rho} &= \frac{2}{\sqrt{3}}\beta^2(\vec{\rho} \cdot \vec{\lambda}), \quad \psi_{00}^{2,\lambda} = \frac{1}{\sqrt{3}}\beta^2(\rho^2 - \lambda^2), \\ \psi_{22}^{2,S} &= \frac{1}{2}\beta^2(\rho_+^2 + \lambda_+^2), \quad \psi_{22}^{2,\rho} = \beta^2\rho_+\lambda_+, \quad \dots \\ \psi_{22}^{2,\lambda} &= \frac{1}{2}\beta^2(\rho_+^2 - \lambda_+^2), \quad \psi_{11}^{2,A} = \beta^2(\rho_+\lambda_0 - \rho_0\lambda_+), \quad \dots \\ &\dots \end{aligned} \quad (4.8)$$

Indeksy funkcji  $\psi$  mają następujące znaczenie:  $N$  jest ilością wzbudzonych kwantów oscylatora harmonicznego (Uwaga! Inaczej niż dla mezonów!),  $L$  i



$L_3$  są momentem pędu i jego trzecią składową, a  $\sigma$  oznacza symetrię funkcji falowej:  $S$  – symetryczna,  $A$  – antysymetryczna,  $\rho$  lub  $\lambda$  – mieszana. Rzecz jasna, symetria spinowo-izospinowej funkcji falowej jest dobierana w taki sposób, aby jej iloczyn z funkcją (4.7) był funkcją symetryczną.

Energia stanów (4.7) wynosi  $(N + 3)\omega$ . Stany są zdegenerowane, grupując się w multiplety grupy  $SU(6)$ , gdzie  $6 = 3$  zapachy  $\times 2$  spiny. Przyjętą notacją do oznaczania tych multipletów jest  $[\dim, L_N^P]$ , gdzie  $\dim$  oznacza degenerację multipletu,  $L$  – moment orbitalny niesiony przez kwarki, oraz  $P$  – parzystość, a  $N$  ilość wzbudzonych kwantów. Kolejno, dla stanu podstawowego mamy multiplet  $[56, 0_0^+]$  zbudowany na funkcji  $\psi_{00}^{0,S}$ . Multiplet ten zawiera 16 spinowo-zapachowych stanów należących do oktetu  $SU(3)_F$  i 40 należących do decymetu. Następnie, dla stanów wzbudzonych mamy multiplet  $[70, 1_1^-]$  zbudowany na funkcjach  $\psi_{1M}^{1,\rho}$  i  $\psi_{1M}^{1,\lambda}$ , multiplet  $[56, 0_2^+]$  zbudowany na funkcji  $\psi_{00}^{2,S}$ , multiplet  $[70, 0_2^+]$  zbudowany na funkcjach  $\psi_{00}^{2,\rho}$  i  $\psi_{00}^{2,\lambda}$ , multiplet  $[56, 2_2^+]$  zbudowany na funkcji  $\psi_{2M}^{2,S}$ , multiplet  $[70, 2_2^+]$  zbudowany na funkcjach  $\psi_{2M}^{2,\rho}$  i  $\psi_{2M}^{2,\lambda}$ , i wreszcie multiplet  $[20, 1_2^+]$  zbudowany na funkcji  $\psi_{2M}^{2,A}$ . W zerowym rzędzie multiplety o  $N = 2$ , czyli  $[56, 0_2^+]$ ,  $[70, 0_2^+]$ ,  $[56, 2_2^+]$ ,  $[70, 2_2^+]$ , oraz  $[20, 1_2^+]$  są zdegenerowane, ponadto ich energia jest o  $\omega$  większa od energii  $[70, 1_1^-]$ , która z kolei jest o  $\omega$  większa od energii  $[56, 0_0^+]$ .

Przy pomocy rachunku zaburzeń można pokazać, że anharmoniczne poprawki do oddziaływania generują następujący wzorec rozszczepień:

$$\begin{aligned}
E[56, 0_0^+] &= E_0, \\
E[70, 1_1^-] &= E_0 + \Omega, \\
E[56', 0_2^+] &= E_0 + 2\Omega - \Delta, \\
E[70, 0_2^+] &= E_0 + 2\Omega - \frac{1}{2}\Delta, \\
E[56, 2_2^+] &= E_0 + 2\Omega - \frac{2}{5}\Delta, \\
E[70, 2_2^+] &= E_0 + 2\Omega - \frac{1}{5}\Delta, \\
E[20, 1_2^+] &= E_0 + 2\Omega,
\end{aligned} \tag{4.9}$$

gdzie

$$\begin{aligned}
E_0 &= 3M + 3\omega + a_0, \\
\Omega &= \omega - \frac{1}{2}a_0 + \frac{1}{3}a_1, \\
\Delta &= -\frac{5}{4}a_0 + \frac{5}{3}a_1 - \frac{1}{3}a_2,
\end{aligned} \tag{4.10}$$

a współczynniki  $a_n$  zdefiniowane są jako momenty anharmonicznej części potencjału oddziaływania  $U = H_{\text{conf}} - \sum_{i < j} \frac{1}{2}k(\vec{r}_i - \vec{r}_j)^2 + H_{\text{coul}}^{ij}$ :

$$a_n = \frac{3\beta^{3+2n}}{2^n(2\pi)^{3/2}} \int d^3r r^{2n} e^{-\beta^2 r^2/2} U(r). \tag{4.11}$$

Następnym efektem jaki musimy uwzględnić jest łamanie symetrii  $SU(3)_F$  prze masę kwarku dziwnego. Dla przypadku, gdy masa jednego kwarku jest

inna różna od pozostałych wprowadzamy

$$\begin{aligned} m_\rho &= M_1 = M_2, & m_\lambda &= \frac{3m_\rho M_3}{2m_\rho + M_3}, \\ \omega_\rho &= \sqrt{\frac{3k}{m_\rho}}, & \omega_\lambda &= \sqrt{\frac{3k}{m_\lambda}}, \end{aligned} \quad (4.12)$$

$$\beta_\rho = (3km_\rho)^{1/4}, \quad \beta_\lambda = (3km_\lambda)^{1/4}. \quad (4.13)$$

Funkcje falowe mają teraz postać

$$\Psi_{LL_3}^{N_\rho N_\lambda, \sigma} = \psi_{LL_3}^{N_\rho N_\lambda, \sigma} \left( \frac{\beta_\rho \beta_\lambda}{\pi} \right)^{3/2} e^{-\frac{1}{2}(\beta_\rho^2 \rho^2 + \beta_\lambda^2 \lambda^2)}, \quad (4.14)$$

gdzie

$$\begin{aligned} \psi_{00}^{00, S} &= 1, \\ \psi_{11}^{10, \rho} &= \beta_\rho \rho_+, & \psi_{11}^{01, \lambda} &= \beta_\lambda \lambda_+, \\ &\dots \end{aligned} \quad (4.15)$$

a energia stanów wynosi

$$E = (N_\rho + \frac{3}{2})\omega_\rho + (N_\lambda + \frac{3}{2})\omega_\lambda. \quad (4.16)$$

Kardynalne znaczenie dla opisu spektroskopii hadronów w nierelatywistycznym modelu kwarków ma rozszczepienie wynikające z zależnego od spinu członu  $H_{\text{hyp}}$ . Otrzymuje się następujące wyrażenia na przesunięcia poziomów:

$$\begin{aligned} \delta M_N &= -\frac{1}{2}\delta, & \delta M_\Delta &= \frac{1}{2}\delta, & \delta M_\Lambda &= -\frac{1}{2}\delta, \\ \delta M_\Sigma &= \left( \frac{1}{6} - \frac{2x}{3} \right) \delta, & \delta M_{\Sigma^*} &= \left( \frac{x}{3} + \frac{1}{6} \right) \delta, \\ \delta M_\Xi &= \left( \frac{x^2}{6} - \frac{2x}{3} \right) \delta, & \delta M_{\Xi^*} &= \left( \frac{x}{3} + \frac{x^2}{6} \right) \delta, \\ \delta M_\Omega &= \frac{x^2}{2}\delta, \end{aligned} \quad (4.17)$$

z następującymi oznaczeniami:  $\delta = 4\alpha_s \beta^3 / (3\sqrt{2\pi} M_d^2) r_{\text{hyp}}$ , gdzie  $r_{\text{hyp}}$  jest poprawką relatywistyczną rzędu 1, oraz  $x = M_d/M_s \approx \frac{2}{3}$ . Dla prostoty, pominięto tu małe efekty związane z różnicą  $\beta_\rho$  i  $\beta_\lambda$ .

Problemy nierelatywistycznego modelu kwarku: niemożność opisu pionu z powodu braku symetrii chiralnej, niepoprawna kolejność niektórych stanów (np. rezonans Ropera), usunięcie ad hoc członu spin-orbita potencjału liniowego.

Największe sukcesy modelu: ciężkie kwarkonia, spektra lekkich mezonów i barionów, prostota.

Zakończmy ten rozdział cytatem z wykładu jednego z ojców nierelatywistycznego modelu kwarków:

Zadziwiająco jest, że dla lekkich kwarków model walencyjny w ogóle działa. Zrozumienie dlaczego to przybliżenie QCD jest tak odporne, oraz zbadanie gdzie i z jakich powodów się załamuje, to dwa główne powody dla studiowania spektroskopii hadronów. Użyteczność modelu kwarków jest tak dobrze ugruntowana, że możemy nieraz zapomnieć, jak dziwny jest fakt, że nukleony, ich wzbudzenia, oraz ich krewni zawierający ciężkie kwarki mogą być opisane przy użyciu orbitalnych i spinowych stanów trzech kwarków konstytuencyjnych o spinie  $\frac{1}{2}$ ! [Nathan Isgur]

## 4.2 Stany egzotyczne

Model  $q\bar{q}'$  daje następujące przewidywania dla liczb kwantowych mezonów:

$$\text{stany } q\bar{q}': \quad J^{PC} = \begin{cases} 0^{-+}, 1^{+-}, 2^{-+}, 3^{+-}, 4^{-+}, 5^{+-}, \dots & (S=0) \\ 0^{++}, 1^{--}, 1^{++}, 2^{--}, 2^{++}, 3^{--}, 3^{++}, \dots & (S=1) \end{cases} \quad (4.18)$$

Z (??) widzimy, że  $P = (-1)^{L+1}$ ,  $CP = (-1)^{S+1}$ , a ponadto zachodzi związek  $G = C(-1)^I$ . Z punktu widzenia modelu kwarków, stany o innych kombinacjach liczb kwantowych to *stany egzotyczne*.

$$\text{stany egzotyczne: } \quad J^{PC} = 0^{--}, 1^{-+}, 2^{+-}, 3^{-+}, \dots \quad (4.19)$$

Takie liczby kwantowe mogą być udziałem *glueballi*, *hybrydów*, np.  $q\bar{q}g$ , molekuł mezonowe (stany  $\bar{q}q\bar{q}q$ ). Jak dotąd, nie ma przekonywujących obserwacji stanów egzotycznych (zob. dyskusja w [?]). Nadmienimy tu, że glueballe, hybrydy, itp. mogą również mieć nieegzotyczne liczby kwantowe, takie jak stany  $q\bar{q}'$ . Wynika stąd możliwość mieszania stanów  $q\bar{q}'$  z innymi stanami, np. z glueballami. Utrudnia to identyfikację niektórych obserwowanych cząstek w ramach modelu kwarków. Szczególnie zagmatwana jest sytuacja w sektorze mezonów skalarnych, mogących mieszać się z glueballem  $0^{++}$ .

## 4.3 Worki

Modele worków są w pewnym sensie ortogonalne do modeli strun czy modeli nierelatywistycznych: kwarki siedzą jeden na drugim. Modele są relatywistyczne.

### 4.3.1 Worek Bogolubowa

Cząstka Diraca w sferycznej studni potencjału

$$S(r) = \begin{cases} 0 & \text{dla } r < R \\ M & \text{dla } r \geq R \end{cases} \quad (4.20)$$

Odpowiada to cząstce bezmasowej wewnątrz sfery o promieniu  $R$ , i cząstce o masie  $M$  na zewnątrz. Zgodnie z wynikiem ćwiczenia (4.22), stany o najniższej

energii mają  $j^P = \frac{1}{2}^+$  i są opisane spinorem

$$q(\vec{r}, s) = \begin{pmatrix} G(r) \\ i\sigma \cdot \hat{r} F(r) \end{pmatrix} \chi(s), \quad s = \pm \frac{1}{2}. \quad (4.21)$$

Funkcje  $G$  i  $F$  spełniają równania różniczkowe

$$\begin{aligned} \frac{dG}{dr} &= -(\varepsilon + S(r)) F, \\ \frac{dF}{dr} &= -\frac{2}{r} F + (\varepsilon - S(r)) G. \end{aligned} \quad (4.22)$$

Z równań tych wynika natychmiast, że funkcja  $H(r) = rG(r)$  spełnia równanie

$$\begin{aligned} \left[ \frac{d^2}{dr^2} + \varepsilon^2 \right] H(r) &= 0 \quad \text{dla } r < R, \\ \left[ \frac{d^2}{dr^2} - (M^2 - \varepsilon^2) \right] H(r) &= 0 \quad \text{dla } r \geq R. \end{aligned} \quad (4.23)$$

Ponieważ poniżej zrobimy przejście  $M \rightarrow \infty$ , można przyjąć  $M > \varepsilon$ .

Funkcje  $G$  i  $F$  muszą być regularne w  $r = 0$  i w  $r \rightarrow \infty$ . Wynika stąd, że  $H$  musi znikać w  $r = 0$  i w  $r \rightarrow \infty$ . Spełniające te warunki ogólne rozwiązanie równania (4.23) ma postać

$$H(r) = \begin{cases} A \sin \varepsilon r & \text{dla } r < R \\ B e^{-\sqrt{M^2 - \varepsilon^2} r} & \text{dla } r \geq R \end{cases}. \quad (4.24)$$

Dla funkcji  $G$  i  $F$  dostajemy

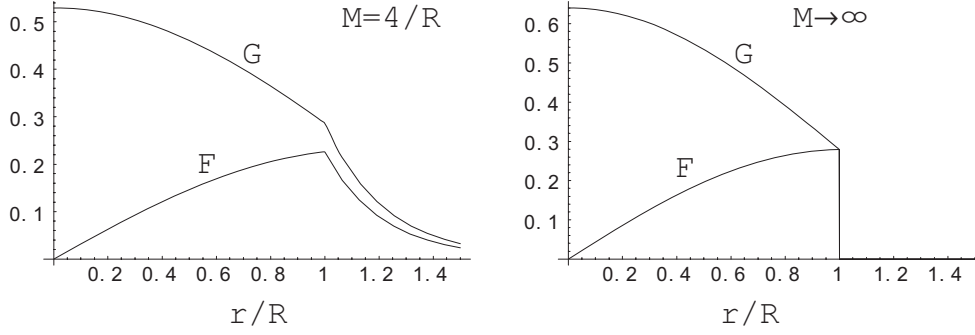
$$\begin{aligned} G(r) &= \begin{cases} \frac{A}{r} \sin \varepsilon r & \text{dla } r < R \\ \frac{B}{r} e^{-\sqrt{M^2 - \varepsilon^2} r} & \text{dla } r \geq R \end{cases}, \\ F(r) &= \begin{cases} \frac{A}{\varepsilon r} \left( -\frac{\sin \varepsilon r}{r} + \varepsilon \cos \varepsilon r \right) & \text{dla } r < R \\ \frac{B}{(M + \varepsilon)r} \left( -\frac{1}{r} - \sqrt{M^2 - \varepsilon^2} \right) e^{-\sqrt{M^2 - \varepsilon^2} r} & \text{dla } r \geq R \end{cases}. \end{aligned} \quad (4.25)$$

Równania (4.22) są równaniami różniczkowymi pierwszego rzędu. Ich regularne rozwiązania muszą więc być funkcjami ciągłymi. Wynikają stąd następujące warunki zszycia:

$$\begin{aligned} \lim_{r \rightarrow R^-} G(r) &= \lim_{r \rightarrow R^+} G(r), \\ \lim_{r \rightarrow R^-} F(r) &= \lim_{r \rightarrow R^+} F(r), \end{aligned} \quad (4.26)$$

co przy użyciu jawnej postaci (4.26) daje

$$\begin{aligned} \frac{A \sin \varepsilon R}{R} &= \frac{B}{R} e^{-\sqrt{M^2 - \varepsilon^2} R} \\ \frac{A}{\varepsilon} \left( -\frac{\sin \varepsilon R}{R^2} + \frac{\varepsilon}{R} \cos \varepsilon R \right) &= \frac{B}{\varepsilon + M} \left( \frac{-1}{R^2} - \frac{\sqrt{M^2 - \varepsilon^2}}{R} \right) e^{-\sqrt{M^2 - \varepsilon^2} R}. \end{aligned} \quad (4.27)$$



Rys. 4.2: Rozwiązania dla górnych i dolnych składowych spinora w worku Bogolubowa dla  $M = 4/R$  i dla  $M \rightarrow \infty$ .

Ten jednorodny układ równań liniowych na zmienne  $A$  i  $B$  ma rozwiązanie, gdy

$$\cos \varepsilon R + \frac{\sqrt{M^2 - \varepsilon^2}}{M + \varepsilon} \sin \varepsilon R = \frac{M}{(M + \varepsilon) \varepsilon R} \sin \varepsilon R. \quad (4.28)$$

Zauważmy, że jest to warunek *kwantyzacji* energii stanu,  $\varepsilon$ .

Następnie wykonujemy przejście graniczne  $M \rightarrow \infty$ , aby “uwięzić” kwarki. Wówczas  $G$  i  $F$  znikają na zewnątrz worka, a wewnątrz worka mają postać

$$G = N \frac{\sin \varepsilon r}{\varepsilon r} \equiv N j_0(\varepsilon r), \quad F = N \frac{\sin \varepsilon r - \varepsilon r \cos \varepsilon r}{(\varepsilon r)^2} \equiv N j_1(\varepsilon r), \quad (4.29)$$

gdzie  $N$  jest stałą normalizacji. Warunek (4.28) daje

$$j_0(\varepsilon R) = j_1(\varepsilon R), \quad (4.30)$$

co jest równoważne  $G(R) = F(R)$ . To przestępne równanie na  $\varepsilon$  można rozwiązać numerycznie. Dostajemy  $\varepsilon = \omega/R$

$$\omega_1 \simeq 2.04, \quad \omega_2 \simeq 5.40, \quad \dots \quad (4.31)$$

Stałą normalizacyjną  $N$  możemy wyznaczyć z warunku  $\int d^3 r (q_{-1}^\mu)^\dagger q_{-1}^\mu = 1$ .

Zauważmy, że warunek zszycia (4.30) można zapisać w postaci

$$i\vec{\gamma} \cdot \hat{r} q(R) = q(R), \quad (4.32)$$

która będzie użyteczna później.

Rozwiązania dla funkcji  $G$  i  $F$  dla worka Bogolubowa o skończonym  $M$  oraz  $M \rightarrow \infty$  przedstawione są na Rys. 4.2.

Gęstość barionowa kwarków dana jest wzorem  $\rho = q^\dagger q = N^2 [j_0(\frac{\omega}{R} r)^2 + j_1(\frac{\omega}{R} r)^2]$  i nie znika dla  $r \rightarrow R^-$ . Prąd prawdopodobieństwa kwarków wynosi  $\vec{j} = \bar{q} \vec{\gamma} q$ . Jego składowa normalna do powierzchni worka,  $\hat{r} \cdot \vec{j} = \bar{q} \hat{r} \cdot \vec{\gamma} q$ , znika identycznie dla rozwiązania (4.21). Oznacza to, że kwarki (liczba barionowa) “nie wyciekają” z worka.

### 4.3.2 Worek MIT

Tensor energii-pędu dla swobodnej bezmasowej cząstki Diraca dany jest równaniem  $T_q^{\mu\nu} = \frac{i}{2}\bar{q}\gamma^\mu \overleftrightarrow{\partial}_\nu q$ , gdzie  $\overleftrightarrow{\partial}_\nu = \overrightarrow{\partial}_\nu - \overleftarrow{\partial}_\nu$ , i zgodnie z zasadą zachowania energii i pędu musi być zachowany, tzn.  $\partial_\mu T^{\mu\nu} = 0$ . Widać to natychmiast, jeśli użyjemy równania Diraca dla bezmasowej cząstki swobodnej,  $\partial_\mu \gamma^\mu q = 0$ . W worku Bogolubowa pojawiają się komplikacje związane z nieciągłością w  $r = R$ . Mamy bowiem

$$T_{\text{Bog}}^{\mu\nu} = \left( \frac{i}{2}\bar{q}\gamma^\mu \overleftrightarrow{\partial}_\nu q \right) \Theta(R - r), \quad (4.33)$$

gdzie  $\Theta(R - r) = 1$  dla  $r < R$ , oraz  $0$  dla  $r > R$ . Używając  $\nabla_i \Theta(R - r) = -\hat{r}_i \delta(R - r)$  oraz równania (4.32) otrzymujemy, że

$$\partial_\mu T_{\text{Bog}}^{\mu\nu} = -\frac{1}{2}\delta(R - r)\partial^\nu(\bar{q}q) \neq 0 \quad \text{dla } \nu \neq 0. \quad (4.34)$$

Oznacza to, że prawo zachowania tensora energii-pędu jest łamane na powierzchni worka, co jest nie do zaakceptowania. Rozwiązaniem problemu jest dodanie do Lagranżjanu modelu worka następującego członu:  $-B\theta(R - r)$ . Wówczas

$$\partial_\mu T_{\text{MIT}}^{\mu\nu} = \delta(R - r) \left( -\frac{1}{2}\hat{r} \cdot \partial(\bar{q}q) - B \right) \hat{r}^\nu, \quad (4.35)$$

co znika, jeśli dobierzemy  $B = -\frac{1}{2}n \cdot \partial(\bar{q}q)$ . Dla barionu w stanie podstawowym nieskomplikowany rachunek daje

$$B = \frac{3}{4\pi R^3} \frac{\omega_1}{R}. \quad (4.36)$$

Ten sam rezultat wynika z warunku *stabilności energetycznej* względem zmiany promienia  $R$ . Energia nukleonu jako funkcja  $R$  jest równa

$$E_N(R) = \frac{3\omega_1}{R} + \frac{4\pi}{3}R^3 B. \quad (4.37)$$

Warunek stabilności energetycznej,  $\frac{dE(R)}{dR} = 0$ , daje natychmiast równanie (4.36). Używając (4.36) w wyrażeniu (4.37) możemy napisać

$$E_N(B) = \frac{4}{3}(3\omega_1)^{3/4}(4\pi B)^{1/4}. \quad (4.38)$$

Dopasowanie parametrów do średniej masy nukleonu i  $\Delta(1232)$  daje

$$B^{1/4} = 111\text{MeV}, \quad (4.39)$$

$$R_N = 1.48\text{fm}. \quad (4.40)$$

Stała  $B$  jest stałą fundamentalną modelu worka MIT.

Równanie (4.37) ma prostą interpretację: pierwszy człon, to energia kinetyczna trzech kwarków w stanie podstawowym  $\kappa = -1$ , drugi człon to energia potrzebna na wytworzenie worka (kopanie dołka w próżni). Analogicznie, dla mezonów w stanie podstawowym zachodzi równość

$$E_{mes}(R) = \frac{2\omega_1}{R} + \frac{4\pi}{3}R^3 B. \quad (4.41)$$

Używając stałej worka (4.39) otrzymujemy  $E_{mes} = 801\text{MeV}$ , w pobliżu masy mezonów  $\rho$  i  $\omega$ , oraz  $R_{mes} = 1.34\text{fm}$ .

Do przedstawionego wyżej modelu worka MIT wprowadzowano następujące poprawki: wymianę gluonu, masę kwarku dziwnego, oraz poprawkę ruchu środka masy [?]. Wymiana gluonu prowadzi, podobnie jak w nierelatywistycznym modelu kwarków, do rozszczepienia stanów o różnym spinie, w szczególności nukleonu i  $\Delta(1232)$ . Ma ona postać

$$\Delta E_g = \frac{\alpha_s}{R} \sum_{i < j} f(m_i, m_j, R) \vec{\sigma}_i \cdot \vec{\sigma}_j \times \begin{cases} 1 & \text{for baryons} \\ 2 & \text{for mesons} \end{cases}, \quad (4.42)$$

gdzie  $f(m_i, m_j, R)$  jest znaną [?] funkcją mas kwarków i promienia.

Wprowadzenie masy kwarku dziwnego nie wymaga komentarza, z wyjątkiem faktu, że najlepsze dopasowania wsazują na  $m_s \sim 300\text{MeV}$ , czyli więcej niż masa prądowa. Analiza równań worka jest tylko nieznacznie bardziej skomplikowana dla  $m \neq 0$ . Efektem skończonej masy prądowej kwarku jest wzrost wartości własnej kwarku,  $\omega$ . Można pokazać, że  $\omega_1$  rośnie od wartości 2.04 dla  $m = 0$  do wartości  $\pi$  dla  $m \rightarrow \infty$ .

Poprawki ruchu środka masy wynikają z braku separacji środka masy w modelu worków. W ogólności, są one plagą wszystkich modeli, których rozwiązania łamią symetrię translacyjną. Poprawki te szacuje się w przybliżony sposób jako  $\Delta E_{CM} = -Z/R \sim -3/8 \omega/R$ . Uwzględniając wszystkie poprawki, dostajemy następujący wzór na masę hadronu:

$$M(R) = \frac{\sum_i \omega(i)}{R} + \frac{4\pi}{3} R^3 B + \Delta E_g - \frac{Z}{R}. \quad (4.43)$$

Model ma cztery parametry:  $B$ ,  $m_s$ ,  $\alpha_s$ , oraz  $Z$ .

Spektroskopia modeli worków jest dobra, z wyjątkim pionu (brak symetrii chiralnej).

Gęstość ładunku elektrycznego w modelu worka MIT dana jest wzorem

$$\rho(r) = \sum_i q_i^\dagger Q_i q_i. \quad (4.44)$$

Nieskomplikowany rachunek daje następujące wyrażenia na średni promień kwadraty,  $\langle r^2 \rangle = \int d^3 r r^2 \rho(r)$ , dla protonu i neutronu:

$$\begin{aligned} \langle r^2 \rangle_p &= \frac{\omega_1^3 R^2}{2(\omega_1 - 1) \sin^2 \omega_1} \int_0^1 d\xi \xi^4 \left( j_0^2(\xi\omega_1) + j_1^2(\xi\omega_1) \right), \\ \langle r^2 \rangle_n &= 0. \end{aligned} \quad (4.45)$$

Znikanie  $\langle r^2 \rangle_n$  wynika ze znikania ładunku neutronu. Widzimy więc, że model worka nie jest w stanie oddtworzyć doświadczalnej wartości  $\langle r^2 \rangle_n^{\text{exp}} = -0.116\text{fm}$ . Dla protonu, przy  $\omega_1 = 2.04$  i  $R = 1\text{fm}$ , otrzymujemy  $\langle r^2 \rangle_p = (0.73\text{fm})^2$ , podczas gdy doświadczalnie  $\langle r^2 \rangle_p^{\text{exp}} = (0.82\text{fm})^2$

Operator momentu magnetycznego jest zdefiniowany jako

$$\vec{\mu} = \frac{1}{2} \int d^3 r (\vec{r} \times \vec{j}_{em}) = \frac{1}{2} \int d^3 r \sum_i q_i^\dagger (\vec{r} \times \vec{\alpha}) Q_i q_i.$$

	MIT	$SU(3)_F$	dośw.
$\mu_n/\mu_p$	-2/3	-2/3	-0.68
$\mu_\Lambda/\mu_p$	-0.26	-1/3	-0.22
$\mu_{\Sigma^-}/\mu_p$	-0.36	-1/3	-0.51
$\mu_{\Sigma^+}/\mu_p$	0.97	1	0.84
$\mu_{\Sigma^0}/\mu_p$	-0.56	-2/3	-0.45
$\mu_{\Xi^-}/\mu_p$	-0.23	-1/3	-0.27

Tabela 4.1: Porównanie momentów magnetycznych oktetu barionów w modelu worka MIT, teoriogrupowym modelu kwarków, oraz danych doświadczalnych

Moment magnetyczny protonu,  $\mu_p = \langle p \uparrow | \vec{\mu} | p \uparrow \rangle$ , dany jest wzorem

$$\mu_p = e \frac{(4\omega_1 - 3)R}{12\omega_1(\omega_1 - 1)}, \quad (4.46)$$

co dla  $\omega_1 = 2.04$  i  $R = 1\text{fm}$  daje  $1.93\mu_N$ , zamiast doświadczalnej wartości  $2.73\mu_N$ , gdzie magneton jądrowy zdefiniowany jest jako  $\mu_N = e/(2M_N)$ . Dla neutronu dostajemy przewidywanie zgodne z teoriogrupowym modelem kwarków, (2.31):  $\mu_n = -\frac{2}{3}\mu_p$ .

Tabela 4.3.2 przedstawia stosunki momentów magnetycznych oktetu barionów do  $\mu_p$  w modelu worka MIT, teoriogrupowym modelu kwarków, oraz wartości doświadczalne (za [?]).

Ładunek aksjalny nukleonu jest zdefiniowany jako element macierzowy prądu osiowego  $j_{5,a}^\mu$ , i wyraża się wzorem

$$g_A = 2 \langle p \uparrow | \int d^3r j_{5,3}^3 | p \uparrow \rangle = \langle p \uparrow | \int d^3r \sum_i q_i^\dagger \sigma_3 \tau_3 q_i | p \uparrow \rangle, \quad (4.47)$$

co daje

$$g_A = \frac{5}{3} \left( 1 - \frac{1}{3} \frac{2\omega_1 - 3}{\omega_1 - 1} \right) \approx 1.1. \quad (4.48)$$

Jest to znacznie mniej niż  $5/3$  teoriogrupowego modelu kwarków.

worek MIT:	$g_a \approx 1.1$
$SU(3)_F$	$g_a = \frac{5}{3}$
dośw.:	$g_a = 1.27$

Rezonans Ropera (N(1440)) jest stanem wzbudzenia radialnego nukleonu. W modelu worka MIT otrzymujemy go poprzez wzbudzenie jednego kwarku do pierwszego radialnie wzbudzonego stanu o  $\kappa = -1$ . Masa rezonansu Ropera wynosi

$$M_{\text{Roper}} = \frac{4}{3} (2\omega_1 + \omega_2)^{3/4} (4\pi B)^{1/4}, \quad (4.49)$$

co daje  $M_{\text{Roper}}/M_N = 1.39$  (dośw.: 1.53).





## 5

# Symetria chiralna

## 5.1 Twierdzenie Goldstone'a

Jeśli Lagranżjan teorii posiada grupę ciągłych wewnętrznych symetrii globalnych, a stan podstawowy teorii posiada mniejszą grupę symetrii, to mamy do czynienia ze *spontanicznym łamaniem symetrii* (synonimy: ukryta symetria, faza Nambu-Goldstone'a).

Tw. Goldstone'a: Jeśli grupa ciągłych symetrii wewnętrznych Lagranżjanu ma  $n_L$  generatorów, oznaczonych jako  $T^a$ , a stan podstawowy  $|\text{vac}\rangle$  (próżnia) ma mniejszą symetrię, tzn. istnieje  $n$  takich  $a$  oraz takie  $j$ , dla których  $T_{ij}^a \langle \text{vac} | \phi^j | \text{vac} \rangle \neq 0$ , gdzie  $\phi^j$  są polami o spinie 0, to istnieje  $n$  bezmasowych bozonów o spinie 0. Ich liczby kwantowe są takie same jak liczby kwantowe generatorów  $T^a$ . Bozony te nazywamy je *bozonami Goldstone'a*, a całe zjawisko *mechanizmem Goldstone'a*.

### 5.1.1 Przykład dla pól klasycznych

Rozważmy teorię klasyczną dwóch pól skalarnych  $S$  i  $P$ :

$$L = \frac{1}{2} (\partial_\mu S)^2 + \frac{1}{2} (\partial_\mu P)^2 - V(S, P), \quad V(S, P) = \frac{\mu}{2} (S^2 + P^2) + \frac{\lambda^2}{4} (S^2 + P^2)^2. \quad (5.1)$$

Zakładamy, że  $\lambda^2 > 0$ , natomiast znak  $\mu$  może być dodatni lub ujemny. Lagranżjan jest symetryczny ze względu na obroty w przestrzeni  $S, P$ :

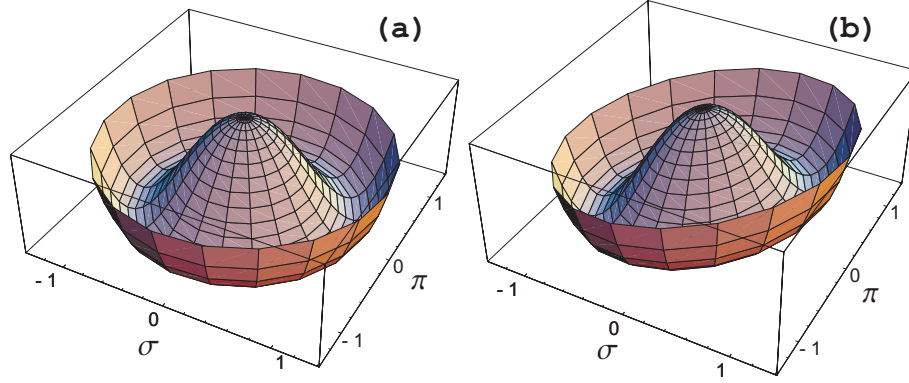
$$\begin{aligned} S &\rightarrow \cos \theta S - \sin \theta P, \\ P &\rightarrow \sin \theta S + \cos \theta P. \end{aligned} \quad (5.2)$$

Stan podstawowy (próżnia) to stan o najniższej energii. W naszym przypadku próżnia ma stałe pola  $S(x) = S_0$ ,  $P(x) = P_0$ , a  $S$  i  $P$  minimalizują potencjał  $V$ :

$$\left. \frac{\partial V(S, P)}{\partial S} \right|_{S=S_0, P=P_0} = 0, \quad \left. \frac{\partial V(S, P)}{\partial P} \right|_{S=S_0, P=P_0} = 0, \quad (5.3)$$

co jawnie daje

$$\mu S_0 + \lambda^2 S_0 (S_0^2 + P_0^2) = 0, \quad \mu P_0 + \lambda^2 P_0 (S_0^2 + P_0^2) = 0. \quad (5.4)$$



Rys. 5.1: Spontaniczne łamanie symetrii w przestrzeni pól  $\sigma$  i  $\pi$ . Lewa strona: przypadek dokładnej symetrii w Lagranżjanie i tworzenie bozonów Goldstone'a. Prawa strona: przypadek słabego jawnego łamania symetrii w Lagranżjanie i tworzenie pseudobożonów Goldstone'a.

Przypadek  $\mu > 0$ : Rozwiązaniem równań (5.4) jest

$$S_0 = 0, \quad P_0 = 0. \quad (5.5)$$

Jest to tzw. próżnia trywialna lub *faza Wignera*. Wzbudzenia pól  $S$  i  $P$  mają masę  $\sqrt{\mu}$ .

Przypadek  $\mu < 0$ : Rozwiązaniem (5.4) jest

$$S_0 = \cos \alpha \frac{\sqrt{-\mu}}{\lambda}, \quad P_0 = \sin \alpha \frac{\sqrt{-\mu}}{\lambda}, \quad (5.6)$$

gdzie  $\alpha$  jest dowolnym kątem. Ze względu na symetrię obrotów w przestrzeni  $S, P$  możemy bez straty ogólności przyjąć np.  $\alpha = \pi$ , co daje

$$P_0 = 0, \quad S_0 = -\frac{\sqrt{-\mu}}{\lambda}. \quad (5.7)$$

Próżnia (5.7) nie jest symetryczna ze względu na transformacje (5.2), a więc na mocy Tw. Goldstone'a musi pojawić się bezmasowe wzbudzenie. Istotnie, wstawiając do  $V$  pola  $S = S_0 + \delta S$ ,  $P = P_0 + \delta P$ , otrzymujemy, do drugiego rzędu w  $\delta S$  i  $\delta P$ ,

$$\begin{aligned} V &= \frac{\mu}{2} (S_0^2 + 2S_0\delta S + \delta S^2 + \delta P^2) + \frac{\lambda^2}{4} (S_0^2 + 2S_0\delta S + \delta S^2 + \delta P^2)^2 = \\ &= \frac{\mu}{2} S_0^2 + \frac{\lambda^2}{4} S_0^4 + (\mu S_0 + \lambda^2 S_0^3) \delta S + \frac{1}{2} (\mu + 3\lambda^2 S_0) \delta S^2 + \frac{1}{2} (\mu + \lambda^2 S_0) \delta P^2 + \\ &\quad + \lambda^2 S_0 \delta S^3 + \lambda^2 S_0 \delta S \delta P^2 + \frac{\lambda^2}{4} (\delta S^4 + \delta P^4) + \frac{\lambda^2}{2} \delta S^2 \delta P^2 \\ &= \text{const} - \mu \delta S^2 + \lambda^2 S_0 \delta S^3 + \lambda^2 S_0 \delta S \delta P^2 + \frac{\lambda^2}{4} (\delta S^4 + \delta P^4 + 2\delta S^2 \delta P^2), \end{aligned} \quad (5.8)$$

gdzie w ostatniej równości użyliśmy rozwiązania (5.7). Współczynnik przy  $\delta P^2$  znika, a więc wzbudzenie pola  $P$  jest bezmasowe, w zgodności z Tw. Goldstone'a. Masa wzbudzenia  $S$  wynosi  $M_S = \sqrt{-2\mu}$ .

Tw. Mermina-Wagnera-Colemana: Spontaniczne łamanie ciągłej symetrii może zachodzić tylko wtedy, gdy wymiar czasoprzestrzeni jest większy niż 2 (dla symetrii dyskretnej  $> 1$ ).

## 5.2 Symetrie oddziaływań silnych

Lagranżjanu QCD

$$L = \bar{\psi}(D-m)\psi - \frac{1}{4}G_{\mu\nu}^a G_a^{\mu\nu} = \bar{u}(D-m_u)u + \bar{d}(D-m_u)d + \bar{s}(D-m_u)s + \dots - \frac{1}{4}G_{\mu\nu}^a G_a^{\mu\nu}, \quad (5.9)$$

posiada wewnętrzne globalne *dokładne* symetrie. Symetrie te nie zmieniają pól gluonowych, a pola kwarkowe transformują się poprzez globalną zmianę fazy:

$$U(1)_V : \quad u \rightarrow e^{i\alpha}u, \quad j_B^\mu = \bar{u}\gamma^\mu u, \quad (\text{zapach } u) \quad (5.10)$$

$$U(1)_V : \quad d \rightarrow e^{i\alpha}d, \quad j_B^\mu = \bar{d}\gamma^\mu d, \quad (\text{zapach } d) \quad (5.11)$$

...

Powyższe symetrie, oznaczające zachowanie każdego zapachu, można połączyć w kombinacje liniowe

$$U(1)_V \text{ (barionowa)} : \quad \psi \rightarrow e^{i\alpha}\psi, \quad j_B^\mu = \frac{1}{3}\bar{\psi}\gamma^\mu\psi = \frac{1}{3}(\bar{u}\gamma^\mu u + \bar{d}\gamma^\mu d + \dots), \quad (5.12)$$

$$U(1)_V \text{ (} I_3 \text{)} : \quad \psi \rightarrow e^{i\alpha\tau_3/2}\psi, \quad j_3^\mu = \bar{\psi}\gamma^\mu \frac{\tau_3}{2}\psi = \frac{1}{2}(\bar{u}\gamma^\mu u - \bar{d}\gamma^\mu d), \quad (5.13)$$

$$U(1)_V \text{ (dziwność)} : \quad \psi \rightarrow e^{i\alpha(\lambda_8-1)/\sqrt{3}}\psi, \quad j_s^\mu = \bar{\psi}\gamma^\mu(\lambda_8-1)/\sqrt{3}\psi = \bar{s}\gamma^\mu s \quad (5.14)$$

...

Bardzo dobrą symetrią, łamaną jawnie w sposób bardzo nieznaczny poprzez różnicę mas prądowych kwarków  $u$  i  $d$ , jest grupa trzech obrotów izospinowych (obrot wokół trzeciej osi izospinu jest symetrią dokładną):

$$SU(2)_V : \quad \psi \rightarrow e^{i\vec{\alpha}\cdot\vec{\tau}/2}\psi, \quad j_a^\mu = \bar{\psi}\gamma^\mu \frac{\tau_a}{2}\psi,$$

$$\partial_\mu j_a^\mu = \frac{m_u - m_d}{2}\bar{\psi} \frac{[\tau_a, \tau_3]}{2i}\psi, \quad (\text{izospin}) \quad (5.15)$$

Rozszerzenie tej symetrii do trzech zapachów jest gorszą symetrią ze względu na większą masę prądową kwarku  $s$ :

$$SU(3)_V : \quad \psi \rightarrow e^{i\alpha_a \lambda_a / 2}\psi, \quad j_a^\mu = \bar{\psi}\gamma^\mu \frac{\lambda_a}{2}\psi,$$

$$\partial_\mu j_a^\mu = \frac{m_u - m_d}{2}\bar{\psi} \frac{[\lambda_a, \lambda_3]}{2i}\psi - \frac{m_s}{\sqrt{3}}\bar{\psi} \frac{[\lambda_a, \lambda_8]}{2i}\psi, \quad (5.16)$$

Bardzo dobrą symetrią jest symetria aksjalna:

$$SU(2)_A : \quad \psi \rightarrow e^{i\gamma_5 \vec{\alpha}\cdot\vec{\tau}/2}\psi, \quad j_{5,a}^\mu = \bar{\psi}\gamma^\mu \gamma_5 \frac{\tau_a}{2}\psi,$$

$$\partial_\mu j_{5,a}^\mu = \frac{m_u + m_d}{2}\bar{\psi}\tau_a i\gamma_5\psi + \frac{m_u - m_d}{2}\delta_{a3}\bar{\psi}i\gamma_5\psi, \quad (\text{osiowa})(5.17)$$

Ladunki izospinowy,  $Q^a$ , i osiowy,  $Q_5^a$ , zdefiniowane jako

$$\begin{aligned} Q^a(t) &= \int d^3x j_0^a(\vec{x}, t) = \int d^3x \psi^\dagger \frac{\tau_a}{2} \psi, \\ Q_5^a(t) &= \int d^3x j_{0,5}^a(\vec{x}, t) = \int d^3x \psi^\dagger \gamma_5 \frac{\tau_a}{2} \psi, \end{aligned} \quad (5.18)$$

spełniają reguły komutacji

$$\begin{aligned} [Q^a(t), Q^b(t)] &= i\varepsilon^{abc} Q^c(t), \\ [Q_5^a(t), Q_5^b(t)] &= i\varepsilon^{abc} Q^c(t), \\ [Q^a(t), Q_5^b(t)] &= i\varepsilon^{abc} Q_5^c(t). \end{aligned} \quad (5.19)$$

Reguły te wynikają z kanonicznych reguł antykomutacji dla pol kwarkowych:  $\{\psi(x), \psi^\dagger(y)\}_{ET} = \delta^3(\vec{x} - \vec{y})$ . Wygodnie jest zdefiniować kombinacje liniowe  $Q_{R,L}^a = (Q^a \pm Q_5^a)$ , które spełniają związki komutacji

$$\begin{aligned} [Q_R^a, Q_R^b] &= i\varepsilon^{abc} Q_R^c, \\ [Q_L^a, Q_L^b] &= i\varepsilon^{abc} Q_L^c, \\ [Q_R^a, Q_L^b] &= 0. \end{aligned} \quad (5.20)$$

Algebrę (5.20) nazywamy algebrą chiralną  $SU(2)_L \otimes SU(2)_R$ . Algebrę tę można rozszerzyć do trzech zapachów.

## 5.3 Spontaniczne łamanie symetrii chiralnej

### 5.3.1 Fakty empiryczne

A oto niektóre fakty świadczące o spontanicznym łamaniu symetrii w próżni:

- Mała masa pionu: pion jest *pseudo-bozonem Goldstone'a*:  $m_\pi = 140\text{MeV}$ ,  $m_\pi^2/\Lambda_\chi^2 \simeq 0.02$ , gdzie  $\Lambda_\chi \sim 1\text{GeV}$  jest skalą chiralną. W systematycznym rozwinięciu w potęgach masy pionu  $m_\pi^2/\Lambda_\chi^2$  jest parametrem rozwinięcia.
- Nieistnienie zdegenerowanych stanów hadronowych o przeciwnej parzystości: Załóżmy, że mielibyśmy dokładną symetrię chiralną,  $[H, Q_5^a] = 0$ . Rozważmy stany hadronowe  $|N^+\rangle$  i  $|N_a^-\rangle = Q_5^a|N^+\rangle$ . Mają one przeciwne parzystości, ponieważ  $\{P, Q_5^a\} = 0$ . Załóżmy, że  $|N^+\rangle$  ma masę  $M$ , czyli  $H|N^+\rangle = M|N^+\rangle$ . Mamy wówczas  $Q_5^a H|N^+\rangle = Q_5^a M|N^+\rangle$  oraz  $H Q_5^a|N^+\rangle = Q_5^a M|N^+\rangle$ , zatem  $H|N_a^-\rangle = M|N_a^-\rangle$ , czyli  $|N^+\rangle$  i  $|N_a^-\rangle$  są zdegenerowane. W wyniku małego jawnego łamania symetrii, stany te byłyby niemal zdegenerowane. Gdyby próżnia QCD była realizowana w stanie Wignera, wówczas spektrum hadronów musiałoby przejawiać degeneracje względem parzystości. Doświadczalne spektrum hadronów nie posiada tej cechy. W fazie Goldstone'a jest wyjście z tego paradoksu. Stan  $|N_a^-\rangle$  to stan  $|N^+ + \text{piony}\rangle$ . Ponieważ piony są bezmasowe, masy stanów  $|N^+\rangle$  i  $|N^+ + \text{piony}\rangle$  są jednakowe.

- Związek Goldbergera–Treimana, łączący ładunek słaby nukleonu,  $g_A$ , jego masę,  $M_N$ , stałą sprzężenia pion-nukleon,  $g_{\pi NN}$ , oraz stałą rozpadu pionu,  $F_\pi$ :

$$g_A M_N = g_{\pi NN} F_\pi + \mathcal{O}(m_\pi^2/\Lambda_\chi^2), \quad (5.21)$$

Poprawka  $\mathcal{O}(m_\pi^2/\Lambda_\chi^2)$  wynosi jedynie kilka procent. Zauważmy, że związek ten w nietrywialny sposób łączy stałe oddziaływań słabych i silnych.

- Długości rozpraszania w fali  $S$  w niskoenergetycznym rozpraszaniu  $\pi - N$  w kanałach o izospinie  $1/2$  i  $3/2$  (Weinberg):

$$\begin{aligned} a_{1/2} &= \frac{m_\pi}{4\pi F_\pi^2} \simeq 0.18/(140\text{MeV}) & \text{dośw. : } (0.171 \pm 0.005)/(140\text{MeV}), \\ a_{3/2} &= -\frac{m_\pi}{8\pi F_\pi^2} \simeq -0.09/(140\text{MeV}) & \text{dośw. : } -(0.088 \pm 0.004)/(140\text{MeV}). \end{aligned}$$

- Długości rozpraszania  $\pi\pi$  wynoszą

$$\begin{aligned} a_0 &= \frac{7m_\pi}{32\pi F_\pi^2} \simeq 0.16/(140\text{MeV}) & \text{dośw. : } (0.26 \pm 0.05)/(140\text{MeV}), \\ a_2 &= -\frac{2m_\pi}{32\pi F_\pi^2} \simeq -0.046/(140\text{MeV}) & \text{dośw. : } -(0.028 \pm 0.012)/(140\text{MeV}). \end{aligned}$$

gdzie indeksy 0 i 2 oznaczają izospin układu dwóch pionów. Poprawki w rozwinięciu chiralnym polepszają zgodność z doświadczeniem..

- Reguła sum Adlera-Weisbergera:

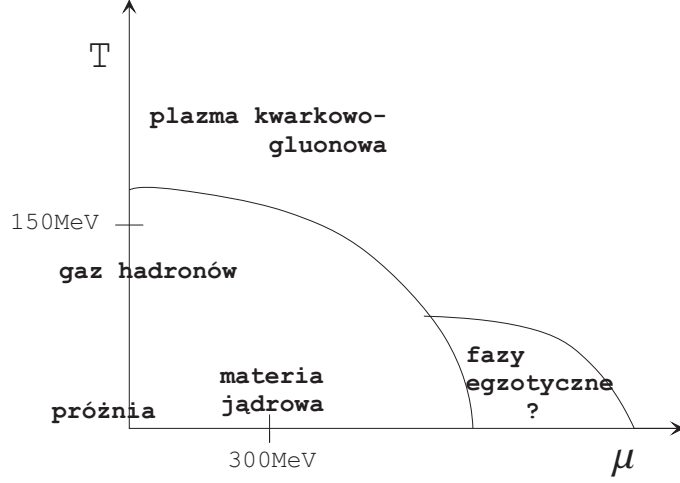
$$g_A^2 - 1 = \int \frac{d\omega}{\omega^2} \sqrt{\omega^2 - m_\pi^2} (\sigma_{\pi+p}(\omega) - \sigma_{\pi-p}(\omega)). \quad (5.24)$$

- Granica miękkich pionów, twierdzenia niskoenergetyczne, związki pomiędzy amplitudami, chiralny rachunek zaburzeń

### 5.3.2 Diagram fazowy QCD

Istnieje powszechne przekonanie, że faza Nambu-Goldstone'a, będąca stanem podstawowym próżni, jest niszczona w wysokiej temperaturze, bądź przy wysokiej gęstości barionowych. Dla układów o zerowej gęstości barionowej i wysokiej temperaturze mamy tu bezpośrednie informacje z rachunków QCD na siatkach, które pokazują, że w granicy chiralnej ( $m = 0$ ) wartość kondensatu chiralnego  $\langle \bar{q}q \rangle$  maleje do zera przy temperaturach rzędu  $150\text{MeV}$ . Powyżej temperatury krytycznej tworzy się faza Wignera. Kondensat chiralny pełni rolę parametru porządku. Można pokazać, że przejście fazowe jest drugiego rodzaju. Dla  $m \neq 0$  kondensat chiralny nie jest już, w matematycznym sensie, parametrem porządku, i przejście fazowe zastąpione jest przez przejście gładkie (smooth crossover), tzn. wielkości termodynamiczne i ich pochodne zmieniają się w sposób ciągły.

Dla niezerowych gęstości barionowych sytuacja jest bardziej skomplikowana. Rachunki na sieciach nie są możliwe w niezerowych potencjałach chemicznych.



Rys. 5.2: Schematyczny diagram fazowy QCD w płaszczyźnie barionowy potencjał chemiczny ( $\mu$ ) – temperatura ( $T$ ).

Tak więc nasza wiedza o gęstych układach pochodzi z rozlicznych modeli. Modele te wskazują na spadek wartości  $\langle \bar{q}q \rangle$  ze wzrostem gęstości. Przewidują też istnienie bardziej egzotycznych faz, np. fazy z kolorowym kondensatem dikwarkowym. Rys. 5.2 przedstawia w schematyczny sposób nasze wyobrażenie o diagramie fazowym QCD.

### 5.3.3 CVC i PCAC

Jak pokazaliśmy w rozdziale 5.2, dla  $m_u = m_d \equiv \bar{m}$  mamy

$$\partial_\mu j_a^\mu = 0, \quad (5.25)$$

co określa się mianem *zachowania prądu wektorowego* (CVC, conservation of vector current), oraz

$$\partial_\mu j_{5,a}^\mu = \bar{m} \bar{\psi} \tau_a i \gamma_5 \psi, \quad (5.26)$$

co nazywamy *częściowym zachowaniem prądu osiowego* (PCAC, partial conservation of axial currents). Prądy  $j_a^\mu$  i  $j_{5,a}^\mu$  sprzęgają się do fotonów i bozonów pośredniczących w oddziaływaniach słabych, w związku z czym ich elementy macierzowe mogą być wyznaczone z odpowiednich procesów elektromagnetycznych i słabych. W szczególności

$$\langle 0 | j_{5,a}^\mu(x) | \pi_b(q) \rangle = i F_\pi q^\mu e^{-iq \cdot x} \delta_{ab}, \quad (5.27)$$

gdzie stałą rozpadu pionu,  $F_\pi \approx 93 \text{ MeV}$ , znamy z rozpadu  $\pi^+ \rightarrow \mu^+ \nu_\mu$ . Wynika stąd, że

$$\langle 0 | \partial_\mu j_{5,a}^\mu(x) | \pi_b(q) \rangle = F_\pi q_\mu q^\mu e^{-iq \cdot x} \delta_{ab} = F_\pi m_\pi^2 e^{-iq \cdot x} \delta_{ab}. \quad (5.28)$$

Wprowadzając tzw. interpolujące pole pionu,

$$\phi_a(x) = \frac{\partial_\mu j_{5,a}^\mu(x)}{F_\pi m_\pi^2}, \quad (5.29)$$

otrzymujemy z (5.28)

$$\langle 0|\phi_a(x)|\pi_b(q)\rangle = e^{-iq\cdot x}\delta_{ab}, \quad (5.30)$$

czyli element macierzowy  $\langle 0|\phi_a(x)|\pi_b(q)\rangle$  jest znormalizowany tak samo, jak dla kanonicznego pola pionu. Pole  $\phi_a(x)$  nazywamy też *pionem PCAC*.

Znaczenie PCAC: *Własności procesów z pionami i innymi hadronami dają się w granicy miękkich pionów wyrazić przez własności transformacyjne hadronów przy przekształceniach chiralnych.*

### 5.3.4 Związki GMOR i kondensat chiralny

A oto przykład rachunku opartego o PCAC. Rozważmy następujący propagator:

$$\begin{aligned} \frac{1}{3} \sum_a \int d^4x e^{-iq\cdot x} \langle 0|T \left( \partial_\mu j_{5,a}^\mu(x), \partial_\nu j_{5,a}^\nu(0) \right) |0\rangle &= \\ \frac{1}{3} F_\pi^2 m_\pi^4 \sum_a \int d^4x e^{-iq\cdot x} \langle 0|T (\phi_a(x), \phi_a(0)) |0\rangle &= \frac{i F_\pi^2 m_\pi^4}{q^2 - m_\pi^2} f(q^2). \end{aligned} \quad (5.31)$$

Podstawowe założenie PCAC to gładkość funkcji  $f(q^2)$  w okolicy  $q^2 = 0$ . Oznacza to w praktyce, że możemy przyjąć  $f(0) \approx f(m_\pi^2) \equiv 1$ . Następnie stosujemy *granice miękkich pionów*: bierzemy  $\vec{q} \rightarrow 0$ , a następnie  $q_0 \rightarrow 0$ . Wówczas lewa strona (5.31), po scałkowaniu przez części, daje się zapisać jako

$$i \frac{1}{3} \sum_a \langle 0|[Q_5^a, [Q_5^a, \mathcal{H}(0)]]|0\rangle, \quad (5.32)$$

gdzie komutator pojawia się z pochodnej czasowej iloczynu chronologicznego. Wielkość  $\mathcal{H}(0)$  jest gęstością Hamiltonianu QCD w punkcie  $x = 0$ . Można bez trudu wyliczyć, że

$$\frac{1}{3} \sum_a [Q_5^a, [Q_5^a, \mathcal{H}(0)]] = \bar{m} \bar{\psi}(0) \psi(0).$$

Biorąc granicę miękkich pionów po prawej stronie (5.31) dostajemy związek

$$\bar{m} \langle 0|\bar{\psi}\psi|0\rangle = -F_\pi^2 m_\pi^2 f(0). \quad (5.33)$$

Na mocy założenia PCAC,  $f(0) \approx f(m_\pi^2) = 1$ , dostajemy związek

$$\bar{m} \langle \bar{\psi}\psi \rangle = -F_\pi^2 m_\pi^2. \quad (5.34)$$

Jest to słynny związek Gell-Manna-Oaksa-Rennera. Możemy też bardziej ogólnie napisać

$$2\bar{m} \langle \bar{q}q \rangle = -F_\pi^2 m_\pi^2 + \mathcal{O}(m_\pi^4/\Lambda_\chi^4), \quad (5.35)$$

gdzie  $\langle \bar{q}q \rangle$  jest wartością kondensatu chiralnego dla pojedynczego zapachu w granicy chiralnej  $\bar{m} \rightarrow 0$ . Oszacowania dają

$$\langle \bar{q}q \rangle = \frac{1}{2} (\langle \bar{u}u \rangle + \langle \bar{d}d \rangle) \simeq -(210 \div 260 \text{MeV})^3. \quad (5.36)$$



faza Wignera	faza Nambu-Goldstone'a
$\langle \bar{\psi}\psi \rangle = 0$	$\langle \bar{\psi}\psi \rangle \neq 0$
$m_\pi > 0$	$m_\pi = 0$
$F_\pi = 0$	$F_\pi > 0$
zdegenerowane multiplety z cząstkami o przeciwnej parzystości: $m_\pi = m_\sigma, m_\rho = m_{A_1}, \dots$	brak zdegenerowanych multipletów z cząstkami o przeciwnej parzystości: $m_\pi < m_\sigma, m_\rho < m_{A_1}, \dots$

Tabela 5.1: Porównanie własności faz Wignera i Nambu-Goldstone'a

Zauważmy, że mamy  $m_\pi \sim \sqrt{\bar{m}}$ .

Dla trzech zapachów powyższe związki można w prosty sposób uogólnić. Dostajemy

$$(m_s + \bar{m})\langle \bar{q}q \rangle = -F_\pi^2 m_K^2 + \mathcal{O}(m_s^2), \quad (5.37)$$

co po wydzieleniu stronami ze związkiem (5.33) daje

$$\frac{2\bar{m}}{\bar{m} + m_s} = \frac{m_\pi^2}{m_K^2} + \mathcal{O}(m_s^2/\Lambda_\chi^2) \simeq \frac{140^2}{494^2} \sim 0.08. \quad (5.38)$$

Dla  $\bar{m} = 6\text{MeV}$  dostajemy stąd  $m_s \simeq 150\text{MeV}$ .

Dokładniej, dostajemy

$$\begin{aligned} -(m_s + m_u)\langle \bar{q}q \rangle + \Delta &= F_\pi^2 m_{K^\pm}^2, \\ (m_s + m_d)\langle \bar{q}q \rangle &= F_\pi^2 m_{K^0}^2 = F_\pi^2 m_{\bar{K}^0}^2, \\ -(m_d + m_u)\langle \bar{q}q \rangle + \Delta &= F_\pi^2 m_{\pi^\pm}^2, \\ -(m_d + m_u)\langle \bar{q}q \rangle &= F_\pi^2 m_{\pi^0}^2, \\ -(m_d + m_u + 4m_s)\langle \bar{q}q \rangle &= F_\pi^2 m_\eta^2, \end{aligned} \quad (5.39)$$

skąd wynika związek Gell-Manna-Okubo

$$3m_\eta^2 + 2m_{\pi^\pm}^2 - m_{\pi^0}^2 = 2m_{K^\pm}^2 + 2m_{K^0}^2, \quad (5.40)$$

oraz stosunki

$$\begin{aligned} \frac{m_d}{m_s} &= \frac{m_{K^0}^2 + m_{\pi^\pm}^2 - m_{K^\pm}^2}{m_{K^0}^2 + m_{K^\pm}^2 - m_{\pi^\pm}^2} \simeq 0.050, \\ \frac{m_u}{m_s} &= \frac{2m_{\pi^0}^2 - m_{K^0}^2 - m_{\pi^\pm}^2 + m_{K^\pm}^2}{m_{K^0}^2 + m_{K^\pm}^2 - m_{\pi^\pm}^2} \simeq 0.027. \end{aligned} \quad (5.41)$$

## 5.4 Modele kwarkowe zgodne z symetrią chiralną

### 5.4.1 Worki chiralne

Problemem dyskutowanych w rozdziale 4 modeli jest łamanie symetrii chiralnej. W modelu Bogolubowa człon  $\bar{\psi}(x)S(x)\psi(x)$  w Lagranżjanie łamie symetrię

chiralną. W worku MIT, którego gęstość Lagranżjanu można zapisać w postaci

$$L_{MIT}(x) = \left[ \frac{i}{2} \bar{\psi}(x) \overleftrightarrow{\partial}_\mu \gamma^\mu \psi(x) - B \right] \Theta(R-r) - \frac{1}{2} \bar{\psi}(x) \psi(x) \delta(R-r), \quad (5.42)$$

można bez trudu pokazać, że  $\partial_\mu j_{5,a}^\mu(x) = -\frac{1}{2} \bar{\psi}(x) \tau_a i \gamma_5 \psi(x) \delta(r-R)$ , a zatem prąd osiowy jest łamany na powierzchni worka. Aby temu zapobiec, Chodos i Thorn zaproponowali model worka zgodny z symetrią chiralną:

$$L_{CT}(x) = \left[ \frac{i}{2} \bar{\psi} \overleftrightarrow{\partial}_\mu \gamma^\mu \psi - B \right] \Theta(R-r) \quad (5.43)$$

$$- \frac{1}{2\sqrt{\sigma^2 + \pi^2}} \bar{\psi} (\sigma + i\gamma_5 \tau_a \pi^a) \psi \delta(R-r) + \frac{1}{2} (\partial_\mu \sigma)^2 + \frac{1}{2} (\partial_\mu \pi)^2$$

Nieco różniącym się modelem jest model zaproponowany przez G. E. Browna i współpracowników, w którym człon kinetyczny modelu Chodosa i Thorna jest “wypchnięty” poza worek:  $\left[ \frac{1}{2} (\partial_\mu \sigma)^2 + \frac{1}{2} (\partial_\mu \pi)^2 \right] \Theta(r-R)$ , a także tzw. Cloudy Bag Model, w którym pole pionu jest realizowane nieliniowo:

$$L_{CBM}(x) = \left[ \frac{i}{2} \bar{\psi} \overleftrightarrow{\partial}_\mu \gamma^\mu \psi - B \right] \Theta(R-r) \quad (5.44)$$

$$- \frac{1}{2} \bar{\psi} e^{i\tau_a \phi^a \gamma_5 / F_\pi} \psi \delta(R-r) + \frac{1}{2} (D_\mu \phi_a)^2 \Theta(r-R),$$

gdzie pochodna kowariantna zdefiniowana jest jako  $D_\mu \phi_a = \hat{\phi}_a \partial_\mu \phi + F_\pi \sin(\phi/F_\pi) \partial_\mu \hat{\phi}_a$ , oraz  $\phi = \sqrt{\phi_a \phi^a}$  i  $\hat{\phi}_a = \phi_a / \phi$ .

## 5.5 Chiralne modele solitonowe (niedokończone)

We wszystkich pisanych wyżej modelach worków mechanizm tworzenia stanów związanych jest de facto wymuszany przez nieskończoną wartość masy kwarku na zewnątrz worka. Wewnątrz worka masa kwarku ma wartość prądową. Chiralne modele solitonowe oparte są na innych przesłankach. 1) podstawowym czynnikiem dynamicznym jest spontanicznie złamana symetria chiralna 2) efekty związane z uwięzieniem kwarków są, przynajmniej dla stanów podstawowych, zaniedbywalne.

### 5.5.1 Model $\sigma$ z kwarkami

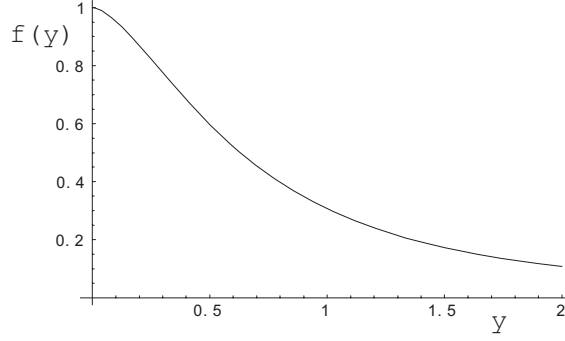
Najprostrzym sposobem realizacji dynamiki chiralnej prowadzącej do wiązania kwarków jest model  $\sigma$  Gell-Manna–Lévy’ego

Lagranżjan:

$$L_\sigma(x) = \bar{\psi} [i\partial^\mu \gamma_\mu + m + g(\sigma + i\gamma_5 \tau^a \pi_a)] \psi$$

$$+ \frac{1}{2} (\partial_\mu \sigma)^2 + \frac{1}{2} (\partial_\mu \pi_a)^2 - U(\sigma^2 + \pi_a^2) + m_\pi^2 F_\pi \sigma \quad (5.45)$$

Masa konstytuentna:  $M = m - g\langle\sigma\rangle = m + gF_\pi$



Rys. 5.3: Funkcja wchodząca w równanie szczeliny energetycznej w modelu Nambu–Jona-Lasinio.

### 5.5.2 Dynamiczne łamanie symetrii chiralnej i model NJL

Dynamiczne łamanie symetrii,

Równania ruchu, *bozonizacja*

$$(i\partial^\mu\gamma_\mu - m)\psi = -G[(\bar{\psi}\psi)\psi + (\bar{\psi}i\gamma_5\tau^a\psi)i\gamma_5\tau^a\psi] = 0$$

Lagranżjan równoważny:

$$L_{NJL}(x) = \bar{\psi}(i\partial^\mu\gamma_\mu - m)\psi + [(\bar{\psi}\psi)S + (\bar{\psi}i\gamma_5\tau^a\psi)P_a] - \frac{1}{2G}(S^2 + P^2), \quad (5.46)$$

dający równania

$$(i\partial^\mu\gamma_\mu - m + S + i\gamma_5\tau^a P_a)\psi = 0, \quad (5.47)$$

$$S = G\bar{\psi}\psi, \quad (5.48)$$

$$P_a = G\bar{\psi}i\gamma_5\tau^a\psi, \quad (5.49)$$

Równanie na szczelinę energetyczną (dla prostoty w granicy  $m = 0$ ):

$$M = GN_c N_f \int^\Lambda \frac{d^4k}{(2\pi)^4} \frac{4M}{k^2 + M^2}, \quad (5.50)$$

gdzie  $N_c = 3$  jest liczbą kolorów,  $N_f = 2$  liczbą zapachów, a  $\Lambda$  oznacza obcięcie dużych  $k^2$ . Przykładowe zrealizowanie obcięcia jest następujące:

$$M = \frac{GN_c N_f}{4\pi^2} M \int_0^\Lambda d(k^2) \frac{k^2}{k^2 + M^2} = \frac{GN_c N_f}{4\pi^2} M \left( \Lambda^2 - M^2 \ln \left( \Lambda^2/M^2 + 1 \right) \right). \quad (5.51)$$

Jedno rozwiązanie:  $M = 0$ . Drugie rozwiązanie pojawia się dla dostatecznie dużych wartości stałej sprzężenia  $G$  i obcięcia  $\Lambda$ , spełniając równanie

$$1 = \frac{GN_c N_f \Lambda^2}{4\pi^2} f(y), \quad (5.52)$$

$$f(y) = 1 + y^2 \ln(y/(1+y)), \quad (5.53)$$

gdzie  $y = M/\Lambda$ . Funkcja  $f(y)$  przedstawiona jest na Rys. .... Oczywiście jest, że dla

$$\frac{GN_c N_f \Lambda^2}{4\pi^2} > 1 \quad (5.54)$$

równanie (5.52) posiada rozwiązanie dla  $y > 0$ . Tym samym, tworzona jest niezerowa masa  $M$  kwarku. To nietrywialne rozwiązanie odpowiada stanowi o najniższej energii (próżni).



**Część II**  
**Dotatki**



## Dodatek A

# Własności wybranych cząstek

Lista cząstek elementarnych oraz rezonansów hadronowych publikowana jest okresowo przez Particle Data Group (<http://pdg.lbl.gov>) [?]. Obecnie tablice, stanowiące swoistą biblię “cząstkowców”, zawierają setki rezonansów, podając ich własności. Rezonans posiada symbol (np.  $\pi$ ,  $\rho$ ,  $K$ ,  $K^*$ ,  $N$ ,  $\Delta$ , ...) oznaczający dla wtajemniczonych jego liczby kwantowe, masę  $m$ , szerokość rozpadu  $\Gamma$ , oraz inne charakterystyki. Masy zaobserwowanych rezonansów utworzonych z lekkich kwarków/antykwarów ( $u$ ,  $d$ ,  $s$ ) sięgają 3GeV. Rezonanse z kwarkami ciężkimi ( $c$ ,  $b$ ) są cięższe ze względu na dużą masę tych kwarków. Obecny “rekordzista” to rezonans  $b\bar{b}$  oznaczany symbolem  $\Upsilon(11020)$ , o masie około 11GeV. Czas życia rezonansu to  $\tau = \hbar/\Gamma$ . Szerokość większości obserwowanych rezonansów to 100–200MeV, co daje czasy życia rzędu  $3-6 \times 10^{-24}$ s.<sup>1</sup>

Rezonanse posiadają “etykietę” złożoną z liczb kwantowych:  $I^G(J^{PC})$ . Liczby te są zachowane w oddziaływaniach silnych.

- $I$  – izospin.  $I = 0$  – izoskalar,  $I = 1$  – izowektor,  $I = \frac{1}{2}$  – dublet,  $I = \frac{3}{2}$  – tryplet, itd., w ogólności dla cząstki o izospinie  $I$  występuje  $2I + 1$  stanów ładunkowych. Przykładem izowektora jest pion, występujący w trzech stanach ładunkowych:  $\pi^+$ ,  $\pi^0$ ,  $\pi^-$ .
- $G$  – parzystość  $G$  (definiowana tylko dla mezonów o całkowitym izospinie). Formalna definicja to  $G = Ce^{i\pi I_2}$ , gdzie  $C$  jest sprzężeniem ładunkowym, a  $I_2$  generatorem obrotu izospinowego wokół osi 2. W praktyce, parzystość  $G$  określa, czy dany rezonans rozpada się na parzystą czy nieparzystą liczbę pionów. Ponieważ parzystość  $G$  pionu jest ujemna,  $G\pi^a = -\pi^a$ , cząstka o ujemnym (dotatnim)  $G$  rozpada się na nieparzystą (parzystą) liczbę pionów, np. dozwolone są rozpady  $\rho \rightarrow \pi\pi$ ,  $\omega \rightarrow \pi\pi\pi$ ,  $\omega \rightarrow \rho\pi$ , a wzbronione  $\omega \rightarrow \pi\pi$ ,  $\rho \rightarrow \pi\pi\pi$ .<sup>2</sup>
- $J$  – spin. Dla mezonów  $J = 0, 1, 2, \dots$ , dla barionów,  $J = \frac{1}{2}, \frac{3}{2}, \frac{5}{2}, \dots$ .
- $P$  – parzystość wewnętrzna, odpowiadająca odbiciu przestrzennemu  $\mathcal{P}$  zdefiniowanemu jako operacja  $\vec{x} \rightarrow -\vec{x}$ . Np. dla pionu  $\mathcal{P}\pi^a = -\pi^a$ , czyli

<sup>1</sup>1eV =  $1.602 \times 10^{-19}$  J,  $\hbar = 1.054 \times 10^{-34}$  J s.

<sup>2</sup>Dokładna analiza symetrii  $G$  i wynikających z niej ograniczeń dla wielu procesów hadronowych przedstawiona jest obszernie w [?]



parzystość wewnętrzna jest ujemna.

- $C$  – sprzężenie ładunkowe, definiowane dla neutralnych mezonów. Operacja sprzężenia ładunkowego  $C$  zmienia cząstkę w antycząstkę, np.  $C\pi^0 = \pi^0$ ,  $C\pi^+ = \pi^-$ ,  $C\omega = -\omega$ .

Ponadto rezonanse klasyfikowane są gwiazdkami: \*\*\*\* – ogólnie uznane, dobre, rezonanse, o znanych własnościach, \*\*\* – istnienie pewne lub bardzo prawdopodobne, \*\* – ewidencja mierna, \* – bardzo słaba ewidencja.

Dla wygody czytelnika przedrukujemy tablice własności kilku ważniejszych mezonów i barionów.

Review of Particle Physics: C. Caso *et al.* (Particle Data Group), European Physical Journal C3, 1 (1998)

**LIGHT UNFLAVORED MESONS**  
**( $S = C = B = 0$ )**

For  $I = 1$  ( $\pi$ ,  $b$ ,  $\rho$ ,  $a$ ):  $u\bar{d}$ ,  $(u\bar{u}-d\bar{d})/\sqrt{2}$ ,  $d\bar{u}$ ;  
 for  $I = 0$  ( $\eta$ ,  $\eta'$ ,  $h$ ,  $h'$ ,  $\omega$ ,  $\phi$ ,  $f$ ,  $f'$ ):  $c_1(u\bar{u} + d\bar{d}) + c_2(s\bar{s})$

$\pi^\pm$

$$I^G(J^P) = 1^-(0^-)$$

Mass  $m = 139.56995 \pm 0.00035$  MeV

Mean life  $\tau = (2.6033 \pm 0.0005) \times 10^{-8}$  s ( $S = 1.2$ )

$c\tau = 7.8045$  m

$\pi^\pm \rightarrow \ell^\pm \nu \gamma$  form factors [a]

$F_V = 0.017 \pm 0.008$

$F_A = 0.0116 \pm 0.0016$  ( $S = 1.3$ )

$R = 0.059^{+0.009}_{-0.008}$

$\pi^-$  modes are charge conjugates of the modes below.

$\pi^+$ DECAY MODES	Fraction ( $\Gamma_i/\Gamma$ )	Confidence level	$p$ (MeV/c)
$\mu^+ \nu_\mu$	[b] (99.98770 $\pm$ 0.00004) %		30
$\mu^+ \nu_\mu \gamma$	[c] ( 1.24 $\pm$ 0.25 ) $\times 10^{-4}$		30
$e^+ \nu_e$	[b] ( 1.230 $\pm$ 0.004 ) $\times 10^{-4}$		70
$e^+ \nu_e \gamma$	[c] ( 1.61 $\pm$ 0.23 ) $\times 10^{-7}$		70
$e^+ \nu_e \pi^0$	( 1.025 $\pm$ 0.034 ) $\times 10^{-8}$		4
$e^+ \nu_e e^+ e^-$	( 3.2 $\pm$ 0.5 ) $\times 10^{-9}$		70
$e^+ \nu_e \nu \bar{\nu}$	< 5 $\times 10^{-6}$	90%	70
<b>Lepton Family number (LF) or Lepton number (L) violating modes</b>			
$\mu^+ \bar{\nu}_e$	$L$ [d] < 1.5	$\times 10^{-3}$ 90%	30
$\mu^+ \nu_e$	$LF$ [d] < 8.0	$\times 10^{-3}$ 90%	30
$\mu^- e^+ e^+ \nu$	$LF$ < 1.6	$\times 10^{-6}$ 90%	30

Review of Particle Physics: C. Caso *et al.* (Particle Data Group), European Physical Journal C3, 1 (1998)

**$f_0(400-1200)$**  <sup>[b]</sup>  
or  $\sigma$

$$J^G(J^{PC}) = 0^+(0^{++})$$

Mass  $m = (400-1200)$  MeV

Full width  $\Gamma = (600-1000)$  MeV

<b><math>f_0(400-1200)</math> DECAY MODES</b>	Fraction ( $\Gamma_i/\Gamma$ )	$p$ (MeV/c)
$\pi\pi$	dominant	—
$\gamma\gamma$	seen	—

**$\rho(770)$**  <sup>[i]</sup>

$$J^G(J^{PC}) = 1^+(1^{--})$$

Mass  $m = 770.0 \pm 0.8$  MeV ( $S = 1.8$ )

Full width  $\Gamma = 150.7 \pm 1.1$  MeV

$\Gamma_{ee} = 6.77 \pm 0.32$  keV

<b><math>\rho(770)</math> DECAY MODES</b>	Fraction ( $\Gamma_i/\Gamma$ )	Scale factor/ Confidence level	$p$ (MeV/c)
$\pi\pi$	$\sim 100$	%	358
<b><math>\rho(770)^\pm</math> decays</b>			
$\pi^\pm\gamma$	$(4.5 \pm 0.5) \times 10^{-4}$	$S=2.2$	372
$\pi^\pm\eta$	$< 6$	$\times 10^{-3}$ CL=84%	146
$\pi^\pm\pi^+\pi^-\pi^0$	$< 2.0$	$\times 10^{-3}$ CL=84%	249
<b><math>\rho(770)^0</math> decays</b>			
$\pi^+\pi^-\gamma$	$(9.9 \pm 1.6) \times 10^{-3}$		358
$\pi^0\gamma$	$(6.8 \pm 1.7) \times 10^{-4}$		372
$\eta\gamma$	$(2.4^{+0.8}_{-0.9}) \times 10^{-4}$	$S=1.6$	189
$\mu^+\mu^-$	[j] $(4.60 \pm 0.28) \times 10^{-5}$		369
$e^+e^-$	[j] $(4.49 \pm 0.22) \times 10^{-5}$		384
$\pi^+\pi^-\pi^0$	$< 1.2$	$\times 10^{-4}$ CL=90%	319
$\pi^+\pi^-\pi^+\pi^-$	$< 2$	$\times 10^{-4}$ CL=90%	246
$\pi^+\pi^-\pi^0\pi^0$	$< 4$	$\times 10^{-5}$ CL=90%	252

Review of Particle Physics: C. Caso *et al.* (Particle Data Group), European Physical Journal C3, 1 (1998)

**$N$  BARYONS**  
 **$(S = 0, I = 1/2)$**   
 $p, N^+ = uud; \quad n, N^0 = udd$

**$p$**

$$I(J^P) = \frac{1}{2}(\frac{1}{2}^+)$$

Mass  $m = 938.27231 \pm 0.00028$  MeV [a]  
 $= 1.007276470 \pm 0.000000012$  u

$$\left| \frac{g_{\bar{p}}}{m_{\bar{p}}} \right| / \left( \frac{g_p}{m_p} \right) = 1.0000000015 \pm 0.0000000011$$

$$|q_p + q_{\bar{p}}|/e < 2 \times 10^{-5}$$

$$|q_p + q_e|/e < 1.0 \times 10^{-21} [b]$$

Magnetic moment  $\mu = 2.79284739 \pm 0.00000006 \mu_N$

Electric dipole moment  $d = (-4 \pm 6) \times 10^{-23}$  e cm

Electric polarizability  $\bar{\alpha} = (12.1 \pm 0.9) \times 10^{-4}$  fm<sup>3</sup>

Magnetic polarizability  $\bar{\beta} = (2.1 \pm 0.9) \times 10^{-4}$  fm<sup>3</sup>

Mean life  $\tau > 1.6 \times 10^{25}$  years (independent of mode)

$> 10^{31}$  to  $5 \times 10^{32}$  years [c] (mode dependent)

Below, for  $N$  decays,  $p$  and  $n$  distinguish proton and neutron partial lifetimes. See also the "Note on Nucleon Decay" in our 1994 edition (Phys. Rev. D50, 1673) for a short review.

The "partial mean life" limits tabulated here are the limits on  $\tau/B_j$ , where  $\tau$  is the total mean life and  $B_j$  is the branching fraction for the mode in question.

$p$ DECAY MODES	Partial mean life (10 <sup>30</sup> years)	Confidence level	$p$ (MeV/c)
<b>Antilepton + meson</b>			
$N \rightarrow e^+ \pi$	$> 130$ ( $n$ ), $> 550$ ( $p$ )	90%	459
$N \rightarrow \mu^+ \pi$	$> 100$ ( $n$ ), $> 270$ ( $p$ )	90%	453
$N \rightarrow \nu \pi$	$> 100$ ( $n$ ), $> 25$ ( $p$ )	90%	459
$p \rightarrow e^+ \eta$	$> 140$	90%	309
$p \rightarrow \mu^+ \eta$	$> 69$	90%	296
$n \rightarrow \nu \eta$	$> 54$	90%	310
$N \rightarrow e^+ \rho$	$> 58$ ( $n$ ), $> 75$ ( $p$ )	90%	153
$N \rightarrow \mu^+ \rho$	$> 23$ ( $n$ ), $> 110$ ( $p$ )	90%	119
$N \rightarrow \nu \rho$	$> 19$ ( $n$ ), $> 27$ ( $p$ )	90%	153
$p \rightarrow e^+ \omega$	$> 45$	90%	142

Review of Particle Physics: C. Caso *et al.* (Particle Data Group), European Physical Journal C3, 1 (1998)

**n**

$$I(J^P) = \frac{1}{2}(\frac{1}{2}^+)$$

$$\text{Mass } m = 939.56563 \pm 0.00028 \text{ MeV } [a]$$

$$= 1.008664904 \pm 0.000000014 \text{ u}$$

$$m_n - m_p = 1.293318 \pm 0.000009 \text{ MeV}$$

$$= 0.001388434 \pm 0.000000009 \text{ u}$$

$$\text{Mean life } \tau = 886.7 \pm 1.9 \text{ s } (S = 1.2)$$

$$c\tau = 2.658 \times 10^8 \text{ km}$$

$$\text{Magnetic moment } \mu = -1.9130428 \pm 0.0000005 \mu_N$$

$$\text{Electric dipole moment } d < 0.97 \times 10^{-25} \text{ e cm, CL} = 90\%$$

$$\text{Electric polarizability } \alpha = (0.98^{+0.19}_{-0.23}) \times 10^{-3} \text{ fm}^3 (S = 1.1)$$

$$\text{Charge } q = (-0.4 \pm 1.1) \times 10^{-21} \text{ e}$$

$$\text{Mean } n\bar{n}\text{-oscillation time } > 1.2 \times 10^8 \text{ s, CL} = 90\% [d] \text{ (bound } n)$$

$$> 0.86 \times 10^8 \text{ s, CL} = 90\% \text{ (free } n)$$

**Decay parameters [e]**

$$p e^- \bar{\nu}_e \quad g_A/g_V = -1.2670 \pm 0.0035 (S = 1.9)$$

$$" \quad A = -0.1162 \pm 0.0013 (S = 1.8)$$

$$" \quad B = 0.990 \pm 0.008$$

$$" \quad a = -0.102 \pm 0.005$$

$$" \quad \phi_{AV} = (180.07 \pm 0.18)^\circ [f]$$

$$" \quad D = (-0.5 \pm 1.4) \times 10^{-3}$$

<b>n DECAY MODES</b>	Fraction ( $\Gamma_i/\Gamma$ )	Confidence level	$\frac{p}{\text{MeV}/c}$
$p e^- \bar{\nu}_e$	100 %		1.19
<b>Charge conservation (Q) violating mode</b>			
$p \nu_e \bar{\nu}_e$	$Q < 8 \times 10^{-27}$	68%	1.29

<b><math>\Delta</math> BARYONS</b> <b><math>(S = 0, I = 3/2)</math></b> $\Delta^{++} = uuu, \Delta^+ = uud, \Delta^0 = udd, \Delta^- = ddd$
---

 **$\Delta(1232) P_{33}$** 

$$I(J^P) = \frac{3}{2}(\frac{3}{2}^+)$$

Breit-Wigner mass (mixed charges) = 1230 to 1234 ( $\approx$  1232) MeV

Breit-Wigner full width (mixed charges) = 115 to 125 ( $\approx$  120) MeV

$p_{\text{beam}} = 0.30 \text{ GeV}/c \quad 4\pi\chi^2 = 94.8 \text{ mb}$   
 Re(pole position) = 1209 to 1211 ( $\approx$  1210) MeV  
 $-2\text{Im}(\text{pole position}) = 98 \text{ to } 102 (\approx 100) \text{ MeV}$

<b><math>\Delta(1232)</math> DECAY MODES</b>	Fraction ( $\Gamma_i/\Gamma$ )	$p$ (MeV/c)
$N \pi$	> 99 %	227
$N \gamma$	0.52-0.60 %	259
$N \gamma$ , helicity=1/2	0.11-0.13 %	259
$N \gamma$ , helicity=3/2	0.41-0.47 %	259

 **$\Delta(1600) P_{33}$** 

$$I(J^P) = \frac{3}{2}(\frac{3}{2}^+)$$

Breit-Wigner mass = 1550 to 1700 ( $\approx$  1600) MeV

Breit-Wigner full width = 250 to 450 ( $\approx$  350) MeV

$p_{\text{beam}} = 0.87 \text{ GeV}/c \quad 4\pi\chi^2 = 18.6 \text{ mb}$   
 Re(pole position) = 1500 to 1700 ( $\approx$  1600) MeV  
 $-2\text{Im}(\text{pole position}) = 200 \text{ to } 400 (\approx 300) \text{ MeV}$

<b><math>\Delta(1600)</math> DECAY MODES</b>	Fraction ( $\Gamma_i/\Gamma$ )	$p$ (MeV/c)
$N \pi$	10-25 %	512
$N \pi \pi$	75-90 %	473
$\Delta \pi$	40-70 %	301
$N \rho$	< 25 %	†
$N(1440) \pi$	10-35 %	74
$N \gamma$	0.001-0.02 %	525
$N \gamma$ , helicity=1/2	0.0-0.02 %	525
$N \gamma$ , helicity=3/2	0.001-0.005 %	525



## Dodatek B

# Multiplety $SU(3)_F$

Oktet mezonów

$$\begin{array}{ccc}
 d\bar{s} & & u\bar{s} \\
 \\
 d\bar{u} & \frac{u\bar{u}-d\bar{d}}{\sqrt{2}}, \frac{u\bar{u}+d\bar{d}-2s\bar{s}}{\sqrt{6}} & u\bar{d} \\
 \\
 s\bar{u} & & s\bar{d}
 \end{array}$$

Singlet mezonów

$$\frac{1}{\sqrt{3}}(u\bar{u} + d\bar{d} + s\bar{s})$$

Oktet barionów

$$\begin{array}{ccc}
 udd & & uud \\
 \\
 dds & & uds & & uus \\
 \\
 dss & & & & uss
 \end{array}$$

Singlet barionów

$$uds$$

Dekuplet barionów

$$\begin{array}{cccc}
 ddd & udd & uud & uuu \\
 \\
 dds & & uds & & uus \\
 \\
 dss & & & & uss \\
 \\
 & & & & sss
 \end{array}$$



Oktet mezonów
---------------

	$K^0$ (498)		$K^+$ (494)	
$\pi^-$ (140)		$\pi^0$ (135)	$, \eta_8$	$\pi^+$
	$K^-$		$\bar{K}^0$	

Singlet mezonów
-----------------

$\eta_0$

Stany mieszane:

$$\eta = \cos \theta_P \eta_8 - \sin \theta_P \eta_0$$

$$\eta' = \sin \theta_P \eta_8 + \sin \theta_P \eta_0$$

$$\theta_P = -10^\circ \div -20^\circ, m_\eta = 547\text{MeV}, m_{\eta'} = 958\text{MeV}$$

Rys. B.1: Mezony  $J^P = 0^-$  ( $L = 0$ ).

Oktet mezonów
---------------

	$K^{*0}$ (892)		$K^{*+}$	
$\rho^-$ (770)		$\rho^0$	$, \omega_8$	$\rho^+$
	$K^{*-}$		$\bar{K}^{*0}$	

Singlet mezonów
-----------------

$\omega_0$

Stany mieszane:

$$\omega = \cos \theta_V \omega_8 - \sin \theta_V \omega_0$$

$$\phi = \sin \theta_V \omega_8 + \sin \theta_V \omega_0$$

$$\theta_V \simeq 35^\circ \simeq 1/\sqrt{2}, m_\omega = 782\text{MeV}, m_\phi = 1020\text{MeV}$$

Rys. B.2: Mezony  $J^P = 1^-$  ( $L = 0$ ).

Oktet barionów
----------------

	$n$		$p$	
	(939.6)		(938.3)	
$\Sigma^-$		$\Sigma^0$	$\Lambda$	$\Sigma^+$
(1197.4)		(1192.5)	(1115.7)	(1189.4)
	$\Xi^-$		$\Xi^0$	
	(1321.3)		(1314.9)	

Rys. B.3: Bariony  $J^P = \frac{1}{2}^+$  ( $L = 0$ ).

Singlet barionów
------------------

$\Lambda(1405)$

Rys. B.4: Barion  $J^P = \frac{1}{2}^-$  ( $L = 1$ ).

Dekuplet barionów
-------------------

$\Delta^-$	$\Delta^0$	$\Delta^+$	$\Delta^{++}$
(1232)			
$\Sigma^{*-}$		$\Sigma^{*0}$	$\Sigma^{*+}$
(1385)			
	$\Xi^{*-}$		$\Xi^{*0}$
	(1530)		
	$\Omega^-$		
	(1672)		

Rys. B.5: Bariony  $J^P = \frac{3}{2}^+$  ( $L = 0$ ).



## Dodatek C

# Bryk teorii pola

### C.1 Macierze Pauliego i Gell-Manna

Macierze  $SU(2)$  Pauliego:

$$\begin{aligned}\sigma^1 &= \begin{pmatrix} 0 & 1 \\ 1 & 0 \end{pmatrix}, & \sigma^2 &= \begin{pmatrix} 0 & -i \\ i & 0 \end{pmatrix}, & \sigma^3 &= \begin{pmatrix} 1 & 0 \\ 0 & -1 \end{pmatrix}, \\ \sigma^k \sigma^l &= \delta^{kl} 1 + i \varepsilon^{klm} \sigma^m.\end{aligned}\tag{C.1}$$

Dla grupy izospinu macierze Pauliego konwencjonalnie oznaczamy przez  $\tau^a$ .

Macierze  $SU(3)$  Gell-Manna:

$$\begin{aligned}\lambda^1 &= \begin{pmatrix} 0 & 1 & 0 \\ 1 & 0 & 0 \\ 0 & 0 & 0 \end{pmatrix}, & \lambda^2 &= \begin{pmatrix} 0 & -i & 0 \\ i & 0 & 0 \\ 0 & 0 & 0 \end{pmatrix}, & \lambda^3 &= \begin{pmatrix} 1 & 0 & 0 \\ 0 & -1 & 0 \\ 0 & 0 & 0 \end{pmatrix}, \\ \lambda^4 &= \begin{pmatrix} 0 & 0 & 1 \\ 0 & 0 & 0 \\ 1 & 0 & 0 \end{pmatrix}, & \lambda^5 &= \begin{pmatrix} 0 & 0 & -i \\ 0 & 0 & 0 \\ i & 0 & 0 \end{pmatrix}, & \lambda^6 &= \begin{pmatrix} 0 & 0 & 0 \\ 0 & 0 & 1 \\ 0 & 1 & 0 \end{pmatrix}, \\ \lambda^7 &= \begin{pmatrix} 0 & 0 & 0 \\ 0 & 0 & -i \\ 0 & i & 0 \end{pmatrix}, & \lambda^8 &= \frac{1}{\sqrt{3}} \begin{pmatrix} 1 & 0 & 0 \\ 0 & 1 & 0 \\ 0 & 0 & -2 \end{pmatrix}.\end{aligned}\tag{C.2}$$

Zachodzi związek  $[\lambda^b, \lambda^d] = i f_a^{bd} \lambda^a$ , gdzie całkowicie antysymetryczne tensory  $f_a^{bd}$  są *statymi struktury* grupy  $SU(3)$ :

$$\begin{aligned}f_{123} &= 1 & f_{345} &= \frac{1}{2} \\ f_{147} &= \frac{1}{2} & f_{367} &= -\frac{1}{2} \\ f_{156} &= -\frac{1}{2} & f_{458} &= \sqrt{\frac{3}{2}} \\ f_{246} &= \frac{1}{2} & f_{678} &= \sqrt{\frac{3}{2}} \\ f_{257} &= -\frac{1}{2}\end{aligned}\tag{C.3}$$

## C.2 Pole o spinie 0 (skalarne lub pseudoskalarne):

$$\begin{aligned} L(x) &= \frac{1}{2} (\partial^\mu \phi(x)) (\partial_\mu \phi(x)) - \frac{1}{2} m^2 \phi(x)^2 \\ &= \frac{1}{2} (\partial^\mu \phi)^2 - \frac{1}{2} m^2 \phi^2. \end{aligned} \quad (\text{C.4})$$

Rzeczywistą (i dodatnią) stałą  $m$  nazywamy masą. Pole  $\phi$  może nieść indeks  $a$  związany z symetrią wewnętrzną (np. izospin). Wówczas w ogólności mamy

$$L = \frac{1}{2} (\partial^\mu \phi^a)^2 - \frac{1}{2} \phi^a (m^2)_{ab} \phi^b, \quad (\text{C.5})$$

a macierz  $m^2$  musi być hermitowska. Pole  $\phi$  spełnia równanie Kleina-Gordona:

$$(\partial^\mu \partial_\mu + m^2) \phi = 0. \quad (\text{C.6})$$

## C.3 Pole o spinie 1/2 (Diraca):

$$L = \bar{\psi}^\alpha (i\partial_\mu \gamma^\mu_{\alpha\beta} - m\delta_{\alpha\beta}) \psi^\beta = \bar{\psi} (i\partial_\mu \gamma^\mu - m) \psi = \bar{\psi} (i\partial - m) \psi, \quad (\text{C.7})$$

gdzie  $\alpha, \beta = 1, 2, 3, 4$  jest wskaźnikiem Diraca,  $\bar{\psi} = \psi^\dagger \gamma^0$ . Macierze  $\gamma$  mają postać (w tzw. reprezentacji Diraca):

$$\gamma^0 = \begin{pmatrix} 1 & 0 \\ 0 & -1 \end{pmatrix}, \quad \gamma^i = \begin{pmatrix} 0 & \sigma^i \\ -\sigma^i & 0 \end{pmatrix}. \quad (\text{C.8})$$

Wprowadza się też

$$\beta = \gamma^0 = \begin{pmatrix} 1 & 0 \\ 0 & -1 \end{pmatrix}, \quad \alpha^i = \gamma^0 \gamma^i = \begin{pmatrix} 0 & \sigma^i \\ \sigma^i & 0 \end{pmatrix}, \quad \gamma_5 = i\gamma^0 \gamma^1 \gamma^2 \gamma^3 = \begin{pmatrix} 0 & 1 \\ 1 & 0 \end{pmatrix}. \quad (\text{C.9})$$

Podstawowa własność macierzy Diraca:

$$\gamma^\mu \gamma^\nu + \gamma^\nu \gamma^\mu = 2g^{\mu\nu}. \quad (\text{C.10})$$

Poszukujemy (czteroskładnikowych) spinorów Diraca, spełniających równanie

$$(i\partial_\mu \gamma^\mu - m) q(\vec{x}, t) = (i\gamma^0 \partial_0 + i\vec{\gamma} \cdot \vec{\nabla} - m) q(\vec{x}, t) = 0. \quad (\text{C.11})$$

Aby odseparować czas, podstawmy  $q(\vec{x}, t) = w(\vec{x}) e^{-ict}$  i pomnóżmy powyższe równanie z lewej strony przez  $\beta$ . Otrzymujemy

$$\left( \frac{\vec{\alpha} \cdot \vec{\nabla}}{i} + \beta m \right) w(\vec{x}) = \epsilon w(\vec{x}). \quad (\text{C.12})$$

Operator

$$h = \frac{\vec{\alpha} \cdot \vec{\nabla}}{i} + \beta m \quad (\text{C.13})$$

nazywamy Hamiltonianem Diraca. Przechodząc do reprezentacji pędowej,

$$w(\vec{x}) = \int \frac{d^3p}{(2\pi)^3} e^{i\vec{p}\cdot\vec{x}} w(\vec{p}), \quad (\text{C.14})$$

otrzymujemy

$$(\vec{\alpha} \cdot \vec{p} + \beta m) w(\vec{p}) = \epsilon w(\vec{p}). \quad (\text{C.15})$$

Równanie (C.15) ma jawną postać

$$\begin{pmatrix} (m - \epsilon) & \vec{\sigma} \cdot \vec{p} \\ \vec{\sigma} \cdot \vec{p} & -(m + \epsilon) \end{pmatrix} w(\vec{p}) = 0, \quad (\text{C.16})$$

i stanowi hermitowski problem własny. Wprowadźmy oznaczenie  $E_p = \sqrt{\vec{p}^2 + m^2}$ , oraz

$$\chi(1/2) = \begin{pmatrix} 1 \\ 0 \end{pmatrix}, \quad \chi(-1/2) = \begin{pmatrix} 0 \\ 1 \end{pmatrix},$$

Bez trudu można sprawdzić, że wektory

$$u(\vec{p}, s) = N \begin{pmatrix} 1 \\ \frac{\vec{\sigma} \cdot \vec{p}}{E_p + m} \end{pmatrix} \chi(s), \quad s = \pm 1/2 \quad (\text{C.17})$$

są rozwiązaniami (C.16) dla  $\epsilon = E_p$ , a wektory

$$v(-\vec{p}, s) = N \begin{pmatrix} -\frac{\vec{\sigma} \cdot \vec{p}}{E_p + m} \\ 1 \end{pmatrix} \chi(s), \quad s = \pm 1/2 \quad (\text{C.18})$$

są rozwiązaniami (C.16) dla  $\epsilon = -E_p$ . Stała normalizacji wynosi  $N = \sqrt{\frac{E_p + m}{2m}}$ .

## C.4 Tw. Noether dla symetrii wewnętrznych

Tw. Noether: *Każdej ciągłej symetrii Lagranżjanu odpowiada zachowany prąd.*

Przykłady: Translacja przestrzenna i czasowa – tensor energii-pędu, transformacja pola spinorowego o fazę – liczba barionowa.

Symetrie wewnętrzne: Rozważmy Lagranżjan klasycznej teorii pola o  $n$  polach rzeczywistych,  $n > 1$ ,

$$L = L(\{\partial_\mu \phi_i(x)\}, \{\phi_i(x)\}), \quad (\text{C.19})$$

implikujący równania Eulera-Lagrange'a

$$\partial_\mu \frac{\partial L}{\partial(\partial_\mu \phi_i)} - \frac{\partial L}{\partial \phi_i} = 0. \quad (\text{C.20})$$

Infinitezymalna globalna transformacja wewnętrzna zdefiniowana jest jako  $\phi_i(x) \rightarrow \phi_i(x) + \delta \phi_i(x)$ ,

$$\delta \phi_i(x) = \varepsilon f_i(\{\phi_j(x)\}), \quad (\text{C.21})$$

gdzie  $\varepsilon$  jest małym (niezależnym od  $x$ ) parametrem transformacji, a  $f_i$  funkcjami pól  $\{\phi_j(x)\}$ . Transformacja (C.21) nazywana jest też *transformacją cechowania*

*I rodzaju.* Mówimy, że system posiada symetrię wewnętrzną (C.21), jeśli  $L$  jest niezmiennikiem tej transformacji. *Prąd Noether* odpowiadający globalnej transformacji wewnętrznej definiujemy jako

$$j^\mu(x) = \frac{\partial L}{\partial(\partial_\mu \phi_i)} f_i(\{\phi_j(x)\}). \quad (\text{C.22})$$

*Tw. Noether dla globalnej symetrii wewnętrznej: Jeśli układ posiada symetrię zadaną przez (C.21), wówczas  $\partial_\mu j^\mu(x) = 0$ , tzn. prąd Noether jest zachowany.*

*Dowód:* Z założenia  $L$  jest niezmiennikiem transformacji (C.21),  $\delta L = 0$ , zatem

$$\delta L = \frac{\partial L}{\partial(\partial_\mu \phi_i)} \partial_\mu \delta \phi_i + \frac{\partial L}{\partial \phi_i} \delta \phi_i = 0, \quad (\text{C.23})$$

i wobec tego

$$\begin{aligned} \partial_\mu j^\mu &= \left( \partial_\mu \frac{\partial L}{\partial(\partial_\mu \phi_i)} \right) f_i + \frac{\partial L}{\partial(\partial_\mu \phi_i)} \partial_\mu f_i = \\ &= \left( \partial_\mu \frac{\partial L}{\partial(\partial_\mu \phi_i)} - \frac{\partial L}{\partial \phi_i} \right) f_i = 0, \end{aligned} \quad (\text{C.24})$$

gdzie ostatnia równość wynika z równań Eulera-Lagrange'a (C.20).

W częstych zastosowaniach tylko część Lagranżjanu jest symetryczna. Zapiszmy  $L = L_0 + L_1$ , gdzie  $L_0$  posiada symetrię, a  $L_1$  ją łamie. Rozłożenie to jest użyteczne, jeśli  $L_1$  jest małe w stosunku do  $L_0$ . Łamanie symetrii w Lagranżjanie nazywamy *jawnym łamaniem symetrii*, w odróżnieniu od łamania spontanicznego. W przypadku jawnego łamania symetrii również definiujemy prąd Noether poprzez (C.22). Prąd ten jest teraz łamany, tzn:

$$\partial_\mu j^\mu = \frac{\partial L_1}{\partial(\partial_\mu \phi_i)} \partial_\mu f_i + \frac{\partial L_1}{\partial \phi_i} f_i \neq 0. \quad (\text{C.25})$$

Przykład:

$$\begin{aligned} L &= \frac{1}{2} (\partial_\mu S(x))^2 + \frac{1}{2} (\partial_\mu P(x))^2 - \frac{m^2}{2} (S(x)^2 + P(x)^2), \\ (\partial^\mu \partial_\mu + m^2) S(x) &= 0, \quad (\partial^\mu \partial_\mu + m^2) P(x) = 0, \\ \delta S(x) &= -\varepsilon P(x), \quad \delta P(x) = \varepsilon S(x), \\ f_S &= -P, \quad f_P = S, \\ \delta L &= (\partial_\mu \delta S) (\partial_\mu S) + (\partial_\mu \delta P) (\partial_\mu P) - m^2 (S \delta S + P \delta P) = \\ &= -\varepsilon (\partial_\mu P) (\partial_\mu S) + \varepsilon (\partial_\mu S) (\partial_\mu P) - m^2 (-\varepsilon P S + \varepsilon S P) = 0, \\ j^\mu &= S \partial_\mu P - P \partial_\mu S, \\ \partial_\mu j^\mu &= S \partial_\mu \partial^\mu P - P \partial_\mu \partial^\mu S = S m^2 P - P m^2 S = 0. \end{aligned}$$

Jeśli dodamy człon łamiący jawnie symetrię, np.  $L_1 = -cS(x)$ , wówczas

$$\begin{aligned} (\partial^\mu \partial_\mu + m^2) S &= c, \\ \partial_\mu j^\mu &= -cm^2 P. \end{aligned}$$

Ładunek: definiujemy jako  $Q = \int d^3x j^0(x)$ . Jeśli symetria jest zachowana, to

$$\frac{d}{dt}Q = \int d^3x \frac{d}{dt}j^0(x) = - \int d^3x \vec{\nabla} \cdot \vec{j}(x) = - \int_S d\vec{n} \cdot \vec{j}(x) = 0,$$

czyli ładunek jest stały w czasie.

Transformacje zdefiniowane przez (C.21) tworzą grupę. W przypadku grupy o wymiarze  $n$  ładunki  $Q^a$ ,  $a = 1, \dots, n$  spełniają *algebrę ładunków*:

$$[Q^a, Q^b] = i f_{..c}^{ab} Q^c, \quad (\text{C.26})$$

gdzie  $f_{..c}^{ab}$  są stałymi struktury grupy. Na przykład, dla grupy obrotów izospinowych  $n = 3$ , a  $f_{..c}^{ab} = \varepsilon_{..c}^{ab}$ .



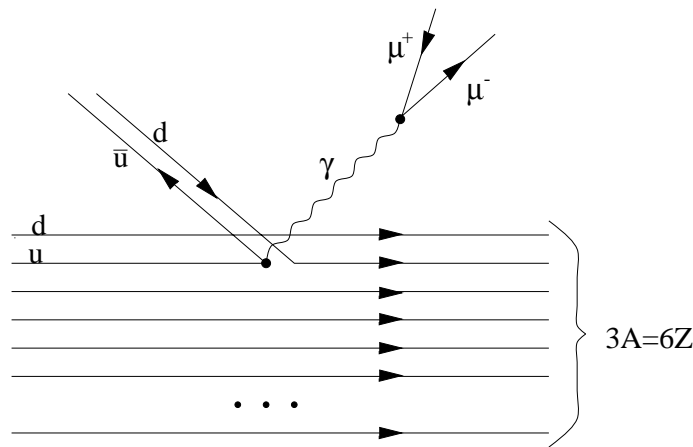


Część III  
Ćwiczenia



## C.5 Produkcja dileptonów w procesach rozpraszania pionów na symetrycznych jądrach

Rozważ wysokoenergetyczne rozpraszanie naładowanych pionów na jądrach o izospinie  $I_3 = 0$ , np.  $^{16}\text{O}$  lub  $^{40}\text{Ca}$ , to znaczy posiadających tę samą liczbę protonów ( $Z$ ) co neutronów ( $A-Z$ ). Amplituda procesu  $\pi^- A \rightarrow \mu^+ \mu^- X$  w modelu kwarków przedstawiona jest na Rys. C.1. Narysuj analogiczny diagram dla procesu  $\pi^+ A \rightarrow \mu^+ \mu^- Y$ , a następnie, w duchu modelu kwarków, znajdź stosunek przekrojów czynnych tych dwóch procesów (Wskazówka: postąp analogicznie, jak w analizie  $R$  w rozpraszaniu  $e^+e^-$  przedstawionej na wykładzie). Analizowany proces jest przykładem tzw. procesu Drella-Yana.



Rys. C.1:

## C.6 Funkcje falowe N i Δ

1. Korzystając z metody pokazanej na wykładzie znajdź spinowo-zapachową funkcję falową stanu  $|\Delta^{++}, m = \frac{1}{2}\rangle$ .
2. Wylicz ładunki elektryczne i momenty magnetyczne stanów  $|\Delta^{++}, m = \frac{3}{2}\rangle$ ,  $|\Delta^{++}, m = \frac{1}{2}\rangle$ ,  $|\Delta^+, m = \frac{3}{2}\rangle$ , oraz  $|\Delta^+, m = \frac{1}{2}\rangle$ .
3. Oblicz tzw. ładunek słaby nukleonu, dany jako wartość oczekiwana operatora  $\sum_{i=1}^3 \tau^3(i) \sigma_z(i)$ , gdzie  $\tau$  oznacza izospinową, a  $\sigma$  spinową macierz Pauliego. Użyj funkcji falowych wyprowadzonych na wykładzie, oraz równości  $\langle u | \tau^3 | u \rangle = 1$ ,  $\langle d | \tau^3 | d \rangle = -1$ ,  $\langle u | \tau^3 | d \rangle = 0$ .
4. Co by było, gdybyśmy nie mieli koloru? Skonstruuj *antysymetryczną* spinowo-zapachową funkcję falową protonu z kwarków  $|u \uparrow\rangle$ ,  $|u \downarrow\rangle$  i  $|d \downarrow\rangle$ , oraz w podobny sposób funkcję falową neutronu. Następnie wylicz w tym wymyślnym modelu stosunek  $\mu_p / \mu_n$ .

## C.7 Równanie Diraca w potencjale sferycznym

Bezczasowe równanie Diraca ma postać

$$hq(\vec{x}) = \varepsilon q(\vec{x}), \quad (\text{C.27})$$

gdzie  $h$  jest Hamiltonianem Diraca,  $q(\vec{x})$  spinorem Diraca, a  $\varepsilon$  wartością własną. Rozważ przypadek skalarnego potencjału sferycznego, tzn.  $h$  postaci

$$h = -i\alpha \cdot \nabla + \beta S(r). \quad (\text{C.28})$$

1. Pokaż jawnym rachunkiem, że operator całkowitego momentu pędu

$$\vec{J} = \vec{L} + \frac{\vec{\sigma}}{2} \quad (\text{C.29})$$

oraz operator

$$K = \beta (\vec{L} \cdot \vec{\sigma} + 1) \quad (\text{C.30})$$

komutują z  $h$ , oraz między sobą. Oznacza to, że  $J^2$ ,  $J_z$  i  $K$  mogą być użyte do klasyfikacji stanów.

2. Oznacz wartości własne operatora  $J^2$  przez  $j(j+1)$ . Pokaż, że wartości własne operatora  $K^2$  wynoszą  $(j + \frac{1}{2})^2$ , a tym samym wartości własne operatora  $K$  wynoszą  $\pm(j + \frac{1}{2})$ . Oznacza to, że do klasyfikacji stanów wystarczają operatory  $J_z$  i  $K$ . Operator  $J^2$  nie jest potrzebny, bo daje się wyrazić poprzez  $K$ . (Wskazówka: pokaż, że  $J^2 = L^2 + \vec{L} \cdot \vec{\sigma} + \frac{3}{4}$  oraz  $K^2 = L^2 + \vec{L} \cdot \vec{\sigma} + 1$ .)
3. Korzystając z blokowej postaci  $K$

$$K = \begin{pmatrix} k & 0 \\ 0 & -k \end{pmatrix}, \quad (\text{C.31})$$

gdzie  $k = \vec{L} \cdot \vec{\sigma} + 1$ , udowodnij, że rozwiązanie równania Diraca (C.27) będące stanem własnym operatorów  $J_z$  i  $K$ ,

$$\begin{aligned} J_z q_k^\mu &= \mu q_k^\mu, \\ K q_k^\mu &= -\kappa q_k^\mu, \end{aligned} \quad (\text{C.32})$$

może być w ogólności zapisane jako

$$q(\vec{x})_k^\mu = \begin{pmatrix} G(r) \xi_k^\mu(\theta, \varphi) \\ -iF(r) \xi_{-k}^\mu(\theta, \varphi) \end{pmatrix}, \quad (\text{C.33})$$

gdzie  $(r, \theta, \varphi)$  oznaczają współrzędne sferyczne, a dwuskładnikowy spinor  $\xi_k^\mu$  jest stanem własnym operatorów  $J_z$  i  $k$ :

$$\begin{aligned} J_z \xi_k^\mu &= \mu \xi_k^\mu, \\ k \xi_k^\mu &= -\kappa \xi_k^\mu. \end{aligned} \quad (\text{C.34})$$

Stany  $\xi_k^\mu$  są unormowane do jedności, tzn.  $\int \sin \theta d\theta d\varphi |\xi_k^\mu|^2 = 1$ . Rozkład (C.33) nazywa się *rozkładem na górną i dolną składową*.

4. Rozważ operator  $k^2$  i udowodnij, że

$$\begin{aligned} L^2 \xi_\kappa^\mu &= \kappa(\kappa + 1) \xi_\kappa^\mu, \\ L^2 \xi_{-\kappa}^\mu &= \kappa(\kappa - 1) \xi_{-\kappa}^\mu, \end{aligned} \quad (\text{C.35})$$

w związku z czym wartości  $l$  dla górnych i dolnych składowych są następujące:

	$\xi_\kappa^\mu$	$\xi_{-\kappa}^\mu$
$\kappa < 0$	$j - \frac{1}{2}$	$j + \frac{1}{2}$
$\kappa > 0$	$j + \frac{1}{2}$	$j - \frac{1}{2}$

(C.36)

Zauważmy, że składowe górna i dolna mają wartości  $l$  różne o 1. W szczególności stan  $j = \frac{1}{2}$ ,  $\kappa = -1$  ma górną składową o  $l = 0$  i dolną składową o  $l = 1$ . Biegli w algebrze momentu pędu mogą pokazać bez trudu, że

$$\xi_\kappa^\mu = \sum_{s_z = \pm \frac{1}{2}} \langle l, \mu - s_z, \frac{1}{2}, s_z | j, \mu \rangle Y_{\mu - s_z}^l | \frac{1}{2}, s_z \rangle, \quad (\text{C.37})$$

gdzie  $\langle l, \mu - s_z, \frac{1}{2}, s_z | j, \mu \rangle$  jest współczynnikiem Clebsha-Gordana,  $Y_{\mu - s_z}^l$  harmoniką sferyczną, a  $| \frac{1}{2}, s_z \rangle$  spinorem dwuskładnikowym opisującym stan o spinie  $\frac{1}{2}$  i rzucie spinu  $s_z$ . W szczególności,

$$\xi_{-1}^\mu = | \frac{1}{2}, \mu \rangle. \quad (\text{C.38})$$

5. Oznaczmy  $\hat{r} = \vec{x}/r$ . Korzystając ze związku  $(\sigma \cdot \hat{r})^2 = 1$  oraz z faktu, że  $\sigma \cdot \hat{r}$  jest pseudoskalarem, pokaż użyteczny związek  $\sigma \cdot \hat{r} \xi_\kappa^\mu = \eta \xi_{-\kappa}^\mu$ , gdzie  $\eta$  jest czynnikiem fazowym, tzn.  $|\eta| = 1$ . W konwencji Condon-Shortleya można pokazać, że  $\eta = -1$ . Możemy więc przepisać spinor (C.33) w równoważnej postaci

$$q_\kappa^\mu = \begin{pmatrix} G \\ i\sigma \cdot \hat{r} F \end{pmatrix} \xi_\kappa^\mu, \quad (\text{C.39})$$

6. Pokaż, że parzystość spinora  $\xi_\kappa^\mu$  wynosi  $(-1)^l = \text{sgn}(\kappa) (-1)^\kappa$ , a parzystość spinora (C.33) jest równa

$$P q_\kappa^\mu = \eta_P \text{sgn}(\kappa) (-1)^\kappa q_\kappa^\mu, \quad (\text{C.40})$$

gdzie  $\eta_P$  jest czynnikiem fazowym. Najczęstszą konwencją jest przyjęcie  $\eta_P = 1$  (Wskazówka: dla spinora Diraca operator parzystości  $P = \eta_P \gamma_0 \times$  (zamiana  $\vec{r}$  na  $-\vec{r}$ )).

7. Korzystając z tożsamości

$$\vec{\nabla} = \hat{r} \frac{\partial}{\partial r} - i \frac{\hat{r}}{r} \times \vec{L} \quad (\text{C.41})$$

pokaż, że

$$-i \vec{\alpha} \cdot \vec{\nabla} = -i \vec{\alpha} \cdot \hat{r} \frac{\partial}{\partial r} + i \frac{1}{r} \vec{\alpha} \cdot \hat{r} (\beta K - 1), \quad (\text{C.42})$$

a następnie sprawdź, że równanie Diraca (C.27) implikuje układ równań różniczkowych na radialne funkcje  $G$  i  $F$  postaci

$$\begin{aligned}\frac{dF}{dr} &= \frac{\kappa - 1}{r}F + (\varepsilon - S)G, \\ \frac{dG}{dr} &= -\frac{1 + \kappa}{r}G - (\varepsilon + S)F.\end{aligned}\quad (\text{C.43})$$

Zauważ też, że  $F$  daje się zapisać jako

$$F(r) = -\frac{1}{S(r) + \varepsilon} \left( \frac{d}{dr} + \frac{1 + \kappa}{r} \right) G(r). \quad (\text{C.44})$$

Wprowadź funkcję  $H(r) = rG(r)$  i pokaż, że dla  $S(r) = M = \text{const.}$  spełnia ona następujące równanie:

$$\left[ \frac{d^2}{dr^2} - \frac{\kappa(\kappa + 1)}{r^2} - (M^2 - \varepsilon^2) \right] H(r) = 0. \quad (\text{C.45})$$

## C.8 Modele worków

1. Sprawdź równanie (4.34) z wykładu.
2. Jaka część masy barionu w modelu MIT jest niesiona przez kwarki, a jaka przez energię objętościową worka?
3. Rozważ model worka, w którym zamiast członu objętościowego dodano człon powierzchniowy:

$$E(R) = \frac{\sum_{i=1}^3 \omega(i)}{R} + 4\pi R^2 C. \quad (\text{C.46})$$

Znajdź promień stabilności worka oraz stosunek mas rezonansu Ropera i nukleonu w tym modelu.

4. Korzystając z definicji momentu magnetycznego:

$$\vec{\mu} = \int d^3x (\vec{x} \times \vec{j}_{\text{EM}}), \quad (\text{C.47})$$

gdzie dla cząstki Diraca o ładunku  $Q$  prąd elektromagnetyczny wynosi

$$j_{\text{EM}}^\mu = Q\bar{q}\gamma^\mu q, \quad (\text{C.48})$$

wyprowadź wzór na moment magnetyczny kwarku w stanie  $\kappa = -1$  (czyli  $j^P = \frac{1}{2}^+$ ) w modelu worka MIT.

Użyteczne całki:

$$\begin{aligned}\int_0^R r^2 dr j_0\left(\frac{\omega r}{R}\right)^2 &= \frac{R^3(2\omega - 1)}{2\omega} j_0(\omega)^2, \\ \int_0^R r^2 dr j_1\left(\frac{\omega r}{R}\right)^2 &= \frac{R^3(2\omega - 3)}{2\omega} j_0(\omega)^2, \\ \int_0^R r^3 dr j_0\left(\frac{\omega r}{R}\right) j_1\left(\frac{\omega r}{R}\right) &= \frac{R^4(4\omega - 3)}{4\omega^2} j_0(\omega)^2.\end{aligned}\quad (\text{C.49})$$

## C.9 Tw. Goldstone'a (dla pól klasycznych)

Rozważ następujący Lagranżjan:

$$\mathcal{L} = \frac{1}{2}(\partial_\mu S(x))(\partial^\mu S(x)) + \frac{1}{2}(\partial_\mu P(x))(\partial^\mu P(x)) - U[S(x)^2 + P(x)^2]. \quad (\text{C.50})$$

Pola  $S$  i  $P$  są klasyczne, a potencjał  $U$  jest dowolną funkcją kombinacji  $(S^2 + P^2)$ . Zakładamy, że funkcja  $U(x)$  posiada minimum, wokół którego jest różniczkowalna. Zauważ, że  $\mathcal{L}$  ma symetrię obrotową w przestrzeni pól  $S$  i  $P$ :

$$\begin{aligned} S &\rightarrow \cos \theta S + \sin \theta P, \\ P &\rightarrow -\sin \theta S + \cos \theta P. \end{aligned} \quad (\text{C.51})$$

1. Napisz Hamiltonian  $H$  odpowiadający  $L$ .
2. Pokaż, że minimum  $H$ , czyli stan o najniższej gęstości energii, zachodzi dla *statycznych* pól,  $S(x) = S_0$  i  $P(x) = P_0$ , spełniających warunki

$$S_0 U' = 0, \quad P_0 U' = 0, \quad (\text{C.52})$$

gdzie

$$U' = \left. \frac{dU(x)}{dx} \right|_{x=S_0^2+P_0^2}.$$

Zauważ, że warunki (C.52) są spełnione, jeśli  $S_0 = 0$  i  $P_0 = 0$  (jest to tzw. *faza Wignera*), lub jeśli  $U' = 0$ . W tym drugim przypadku  $S_0$  i  $P_0$  nie muszą zniknąć. Jeśli  $U' = 0$ , i  $S_0^2 + P_0^2 \neq 0$ , mamy *fazę Nambu-Goldstone'a*. Ze względu na symetrię (C.51) warunek  $U' = 0$  jest spełniony na okręgu  $S_0^2 + P_0^2 = F^2$ . Możemy zatem przyjąć bez straty ogólności, że

$$S_0 = -F, \quad P_0 = 0. \quad (\text{C.53})$$

Ponieważ konfiguracja (C.53) (czyli próżnia) nie jest niezmiennicza względem (C.51), mówimy o *spontanicznym łamaniu* symetrii, lub o *ukrytej* symetrii. Są to synonimy fazy Nambu-Goldstone'a.

3. Napisz wyrażenie na macierz kwadratu masy dla pól  $S$  i  $P$ , zdefiniowaną jako

$$M^2 = \left( \begin{array}{cc} \frac{d^2 U}{dS^2} & \frac{d^2 U}{dS dP} \\ \frac{d^2 U}{dP dS} & \frac{d^2 U}{dP^2} \end{array} \right)_{|S=S_0, P=P_0}, \quad (\text{C.54})$$

i wyraż ją przez  $U'$  oraz  $U'' = \left. \frac{d^2 U(x)}{dx^2} \right|_{x=S_0^2+P_0^2}$ .

4. Pokaż, że w fazie Wignera masy pól  $S$  i  $P$  są równe i wynoszą  $\sqrt{2U'(0)}$  (skąd widać, że musimy przyjąć  $U'(0) \geq 0$  aby wyrażenie miało sens).
5. Udowodnij, że w fazie Goldstone'a masa pola  $P$  znika. Ile wynosi masa pola  $S$ ? (musimy tu założyć, że  $U''(F^2) > 0$  aby wyrażenie na masę pola  $S$  miało sens). Znikanie masy pola  $P$  to przejaw mechanizmu Goldstone'a. Wzbudzenie pola  $P$  jest *bozonem Goldstone'a*.



6. Dodaj do lagranżjanu człon  $-cS(x)$ , gdzie  $c$  jest dodatnią stałą. Człon ten *jawnie* łamie symetrię (C.51). Przyjmij, że  $c$  jest małe i może być traktowane perturbacyjnie. Powtórz powyższe punkty ćwiczenia dla fazy Nambu-Goldstone'a i pokaż, że masa pola  $P$  wynosi teraz (w wiodącym rzędzie rachunku zaburzeń)  $\sqrt{c/F}$ . Masa ta jest mała w stosunku do innych skal, np. masy pola  $S$ , jeśli  $c \ll F^3 U''(F^2)$ . Wzbudzenie pola  $P$  jest teraz *pseudo-bozonem Goldstone'a*.
7. Uogólnij powyższe rozważania i rachunki dla sytuacji, gdy pól  $P$  jest  $N > 1$ :

$$\mathcal{L} = \frac{1}{2}(\partial_\mu S(x))(\partial^\mu S(x)) + \frac{1}{2} \sum_{a=1}^N (\partial_\mu P^a(x))(\partial^\mu P^a(x)) - U[S(x)^2 + \sum_{a=1}^N P^a(x)^2] - cS. \quad (\text{C.55})$$

## C.10 Tw. Noether

1. Rozważ swobodny Lagranżjan Diraca

$$L = \bar{\psi}(i\partial_\mu \gamma^\mu - m)\psi \quad (\text{C.56})$$

Wyprowadź prąd Noether odpowiadający globalnej transformacji symetrii

$$\psi \rightarrow e^{i\alpha} \psi, \quad (\text{C.57})$$

gdzie  $\alpha$  jest parametrem transformacji. Jest to tzw. symetria  $U(1)$ . Używając równań ruchu sprawdź, że prąd ten jest zachowany. Wymyśl człon, który dodany do Lagranżjanu łamałby symetrię  $U(1)$ .

2. Rozważ swobodny Lagranżjan pola pionu

$$L = \frac{1}{2}(\partial_\mu \pi^a)(\partial^\mu \pi_a) - \frac{1}{2}m_\pi^2 \pi^a \pi_a, \quad (\text{C.58})$$

gdzie  $a$  jest indeksem izospinu. Wyprowadź prąd Noether odpowiadający globalnej infinitezymalnej transformacji symetrii

$$\vec{\pi} \rightarrow \vec{\pi} - \vec{\beta} \times \vec{\pi}, \quad (\text{C.59})$$

gdzie  $\vec{\beta}$  jest małym parametrem transformacji. Jest to symetria  $SU(2)$  obrotów w przestrzeni izospinu. Używając równań ruchu sprawdź, że prąd izospinowy jest zachowany. Następnie zastąp człon masowy  $-\frac{1}{2}m_\pi^2 \pi^a \pi_a$  członem, który rozszczepia masy neutralnego i naładowanych pionów:

$$-\frac{1}{2}m_{\pi_0}^2 (\pi^0)^2 - m_{\pi^+}^2 \pi^+ \pi^-, \quad (\text{C.60})$$

gdzie  $\pi^\pm = \frac{1}{\sqrt{2}}(\pi^1 \pm i\pi^2)$ . Czy prąd izospinowy jest nadal zachowany? Ile wynosi teraz czterodwergencja prądu izospinowego?